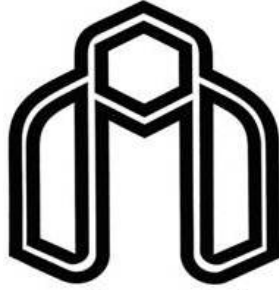


بِسْمِ اللَّهِ الرَّحْمَنِ الرَّحِيمِ



دانشگاه صنعتی شاهرود

دانشکده مهندسی مکانیک

پایان نامه کارشناسی ارشد

عنوان:

مدلسازی انتقال حرارت جابجایی در نانو سیالها

طاهر ارمغانی

اساتید راهنما:

دکتر محمد جواد مغربی

دکتر فرهاد طالبی

بهمن ماه ۱۳۸۷

تقدیم به

پدر و مادر عزیزم

که در تمامی این سالها حامی من بودند

تقدیر و تشکر :

ضمن سپاس بیکران خداوند بر خود لازم می دانم از بزرگواری که این مهم را مدیون و مرهون زحمات بی شائبه آنها هستم تشکر کنم.

از جناب آقای دکتر مغربی که با ارائه راهنمایی های مدبرانه نظارت و سرپرستی این پایان نامه را به عهده داشتند صمیمانه تشکر و قدردانی می نمایم.

جای دارد از جناب آقای دکتر طالبی استاد دانشگاه سمنان که با وسواس و دلسوزی خاص در به فرجام رسیدن این پایان نامه نقش به سزایی داشتند صمیمانه تشکر و قدردانی نمایم.

بهمن ۱۳۸۷

چکیده:

جریان جت سیال با شرایط فیزیکی دلخواه به جهت آنکه دارای کاربردهای عملی و صنعتی فراوانی است در زمره مهمترین مباحث مکانیک سیالات قرار گرفته است و به همین دلیل از همان زمانیکه علم مکانیک سیالات بنا نهاده شده است مبحث فوق مورد توجه بسیاری از محققین قرار گرفته است.

جت ها از لحاظ هندسه منفذ به دو نوع صفحه ای و مدور تقسیم بندی می شوند. به دلیل هندسه خاص جت های مدور، اینگونه بیشتر مورد توجه محققین قرار گرفته است. از این رو با توجه به فقر اطلاعاتی در مورد جت های صفحه ای دوبعدی، تلاشی برای شناخت بهتر اینگونه جریان وهمچنین انتقال حرارت انجام شده است.

در این بررسی سعی شده تا با کمک شبیه سازی عددی و بدور از هر گونه مدل سازی و یا فرضی برای ساده سازی، جریان و انتقال حرارت جت دو بعدی غیر قابل تراکم را به روش حل عددی مستقیم تحلیل کنیم. و اینکه نانو سیال را جایگزین سیال پایه کنیم و اثر غلظت نانوذره را بر روی جریان و انتقال حرارت بررسی کنیم

اغتشاشاتی نیز در ورودی جریان، منتج از حل پایداری جت در سرعت عمود بر جریان قرار

داده شد. و اثر غلظت نانوذره را بر روی جریان و انتقال حرارت بررسی کردیم.

واژگان کلیدی: نانو سیال-خواص حرارتی-شبیه سازی عددی

فهرست مطالب:

۱	۱- فصل اول: پیشگفتار
۲	۱-۱- مقدمه
۲	۲-۱- جریان های برش آزاد
۲	۳-۱- آشنایی با جریان جت
۵	۴-۱- تقریب ها در تحلیل جریان جت
۵	۵-۱- توصیف جریان در یک جت
۷	۲- فصل دوم: مقدمه ای بر نانو سیالها
۸	۱-۲- مرور کلی نانو سیالات
۹	۲-۲- ویژگی های اصلی نانو سیالات
۱۱	۳-۲- کاربردهای نانو سیالات
۱۱	۴-۲- تحقیق عددی
۱۷	۳- فصل سوم: مروری بر کارهای انجام شده
۱۹	۱-۳- مقدمه
۱۹	۲-۳- تحلیل جت های دو بعدی توربلانس
۲۶	۳-۳- مطالعات آزمایشی

۲۷	۳-۴- توزیع سرعت
۲۹	۳-۵- توربلانس در جت های دو بعدی
۳۱	۳-۶- تحلیل جت های دو بعدی آرام
۳۶	۴- فصل چهارم: مقدمه ای بر شبیه سازی مستقیم عددی
۳۷	۴-۱- مقدمه
۳۷	۴-۲- تاریخچه
۳۸	۴-۳- دیدگاه عددی
۳۹	۴-۴- شرایط مرزی
۴۲	۵- فصل پنجم: آنالیز ریاضی
۴۱	۵-۱- مقدمه
۴۲	۵-۲- معادلات حاکم
۴۳	۵-۲-۱- معادله ناویراستوکس
۴۵	۵-۲-۲- معادله انرژی
۴۶	۵-۳- شرایط مرزی
۴۶	۵-۳-۱- شرایط مرزی برای حل معادله ناویراستوکس
۴۸	۵-۳-۲- شرایط مرزی برای حل معادله انرژی

۴۸	۵-۴- شرط اولیه
۴۹	۶- فصل ششم: روش های عددی
۵۰	۶-۱- مقدمه
۵۰	۶-۱-۱- الگوریتم کاری برای حل معادله ناویر استوکس
۵۱	۶-۱-۲- الگوریتم کاری برای حل معادله انرژی
۵۲	۶-۲- محاسبه مشتقات مادی
۵۶	۶-۳- روش محدود کردن دامنه y
۵۹	۶-۴- انتگرال گیری
۶۱	۶-۵- پیشروی در زمان
۶۴	۶-۶- حل معادله پواسون
۶۵	۷- فصل هفتم: ارزیابی صحت و درستی برنامه و شبیه سازی عددی
۶۶	۷-۱- ارزیابی کد و شبیه سازی عددی
۶۶	۷-۱-۱- معادله نفوذ وابسته به زمان
۶۸	۷-۱-۲- گردابه های استوارت
۷۰	۷-۲- مطالعه شبکه
۷۲	۸- فصل هشتم: نتایج عددی برای جت آرام
۷۳	۸-۱- جریان و انتقال حرارت جت دو بعدی آرام

۷۵	۸-۲- اثرات غلظت نانوذرات بر جریان و انتقال حرارت جت دو بعدی آرام
۷۹	۹- فصل نهم: جت مغشوش
۸۰	۹-۱- مقدمه
۸۰	۹-۲- اغتشاشات ورودی
۸۲	۹-۳- اثر نانوذره بر روی جریان و دمای جت مغشوش
۸۴	۹-۴- پیشنهادات برای تحقیقات آینده
۸۵	پیوستها
۹۵	مراجع

فهرست نمودارها:

۳	شکل ۱-۱: نمایی از جت، دنباله و لایه اختلاطی و نوع پروفیل سرعت
۳	شکل ۱-۲: (a) لایه اختلاطی (b) جت آزاد (c) دنباله پشت یک جسم
۶	شکل ۱-۳: نفوذ جت در سیال محیط
۸	شکل ۱-۲: نمایی واقعی از نانو سیال
۱۳	شکل ۲-۲: نمودار ضریب هدایت بر حسب کسر حجمی
۱۳	شکل ۲-۳: نمودار ظرفیت گرمایی ویژه بر حسب کسر حجمی
۱۴	شکل ۲-۴: نمودار دانسیته بر حسب کسر حجمی
۱۴	شکل ۲-۵: نمودار ویسکوزیته دینامیک بر حسب کسر حجمی
۱۵	شکل ۲-۶: نمودار عدد پرانتل بر حسب کسر حجمی
۱۵	شکل ۲-۷: نمودار عدد رینولدز بر حسب کسر حجمی
۱۶	شکل ۲-۸: نمودار عدد پکلت بر حسب کسر حجمی
۲۸	شکل ۳-۱: توزیع سرعت در منطقه جریان توسعه یافته (جت دو بعدی)
۳۰	شکل ۳-۲: تغییر شدت توربلانسی در سرتاسر جت دو بعدی در محدوده کاملا توسعه یافته

۳۱	شکل ۳-۳: الگوی خطوط جریان برای یک جت دو بعدی آرام
۳۴	شکل ۳-۴: توزیع سرعت در یک جت دو بعدی و دایره ای
۴۸	شکل ۵-۱: شماتیکی از دامنه فیزیکی مسئله
۵۳	شکل ۶-۱: تقریب مشتق اول تابع $y = \sin(x) + x^2$
۵۴	شکل ۶-۲: مرتبه دقت برای مشتق اول با بکار بردن طرح اختلاف محدود استاندارد
۵۵	شکل ۶-۳: تقریب مشتق دوم تابع $y = \sin(x) + x^2$
۵۶	شکل ۶-۴: مرتبه دقت برای مشتق دوم با بکار بردن طرح اختلاف محدود استاندارد
۵۸	شکل ۶-۵: تقریب مشتق اول تابع $f(y) = e^{-y^2}$ با توجه به فشردگی سازی در جهت y
۵۸	شکل ۶-۶: تقریب مشتق دوم تابع $f(y) = e^{-y^2}$ با توجه به فشردگی سازی در جهت y .
۶۰	شکل ۶-۷: تقریب انتگرال تابع $f(y) = e^{-y^2}$
۶۳	شکل ۶-۸: مرتبه دقت طرح پیشروی در زمان برای $\frac{du}{dt} = -u(t)$ با $u(0) = 1$.
۶۷	شکل ۷-۱: ماکزیمم خطا در u برای حل دو بعدی معادله نفوذ به صورت تابعی از زمان
۶۷	شکل ۷-۱-۱: ماکزیمم خطا در u برای حل دو بعدی معادله نفوذ به صورت تابعی از تعداد گره در جهت X

۶۷	شکل ۷-۱-۲: ماکزیمم خطا در u برای حل دو بعدی معادله نفوذ به صورت تابعی از تعداد گره در جهت y
۶۹	شکل ۷-۱-۳: ماکزیمم خطا در u و v برای تست گردابه های استوارت به صورت تابعی از زمان
۷۰	شکل ۷-۲-۱: مطالعه شبکه برای v
۷۱	شکل ۷-۲-۲: مطالعه شبکه برای U
۷۱	شکل ۷-۲-۳: مطالعه شبکه برای دما
۷۳	شکل ۸-۱: گذر زمانی U در $y=0$ و در ۴ فاصله در طول Lx برای شبیه سازی جت دو بعدی آرام بدون اغتشاش ورودی
۷۴	شکل ۸-۲: گذر زمانی V در $y=0$ و در ۴ فاصله در طول Lx برای شبیه سازی جت دو بعدی آرام بدون اغتشاش ورودی
۷۴	شکل ۸-۳: گذر زمانی T در $y=0$ و در ۴ فاصله در طول Lx برای شبیه سازی جت دو بعدی آرام بدون اغتشاش ورودی
۷۵	شکل ۸-۴: نمودار عمق نفوذ عرضی هیدرودینامیکی در $x = 0.75Lx$ و $time = 100$ بر حسب غلظت نانوذرات
۷۶	شکل ۸-۵: نمودار عمق نفوذ عرضی حرارتی در $x = 0.75Lx$ و $time = 100$ بر حسب غلظت نانوذرات.
۷۷	شکل ۸-۶: نمودار عمق نفوذ طولی حرارتی در $x = 0.75Lx$ و $time = 100$ و $y = 0$ بر حسب غلظت نانوذرات.

۷۸	شکل ۷-۸: نمودار عمق نفوذ طولی هیدرودینامیکی در $x = 0.75Lx$ و $time = 100$ و $y = 0$ بر حسب غلظت نانوذرات.
۸۱	شکل ۹-۱: گذر زمانی V در ۴ فاصله مساوی در طول L_x برای شبیه سازی جت دوبعدی همراه با اغتشاش ورودی
۸۱	شکل ۹-۲: گذر زمانی U در ۴ فاصله مساوی در طول L_x برای شبیه سازی جت دوبعدی همراه با اغتشاش ورودی
۸۲	شکل ۹-۳: گذر زمانی T در ۴ فاصله مساوی در طول L_x برای شبیه سازی جت دوبعدی همراه با اغتشاش ورودی
۸۳	شکل ۹-۴: گذر زمانی U در $y=0$ و در $x = 0.75Lx$ برای نانوسیال همراه با اغتشاش ورودی
۸۳	شکل ۹-۵: گذر زمانی T در $y=0$ و در $x = 0.75Lx$ برای نانوسیال همراه با اغتشاش ورودی

فهرست علائم:

ویسکوزیته دینامیک	μ
چگالی	ρ
ظرفیت گرمایی ویژه	c_p
ضریب هدایت	K
غلظت نانوسیال	ϕ
فشار	P
ورتیسیته	ω
مقدار اغتشاش حقیقی	V_r
مقدار اغتشاش موهومی	V_i
سرعت در خروجی	C_{exit}
تابع جریان	ψ
سرعت کلی انتقال موج	c
عرض دامنه محاسباتی	ζ
شماره گره	J
اپراتور مشتق	D
طول دامنه فیزیکی و محاسباتی	x
عرض دامنه فیزیکی	y
تعداد نقاط شبکه در جهت x	N_x

تعداد نقاط شبکه در جهت y	N_y
گام زمانی	Δt
گام مکانی	Δx
پارامتر مربوط به کنترل میزان کشیدگی و انقباض	β
عملگر گرادیان	∇
عدد رینولدز	Re
عدد پرانتل	Pr
عدد پکلت	Pe
عمق نفوذ عرضی	δ

زیر نویسها:

نانو سیال	nf
سیال پایه	bf
نانو ذره	p
سیال بدون نانوذره	0

فصل اول

پیشگفتار

۱-۱- مقدمه

جریان جت سیال با شرایط فیزیکی دلخواه به جهت آنکه دارای کاربردهای عملی و صنعتی فراوانی است در زمره مهمترین مباحث مکانیک سیالات قرار گرفته است و به همین دلیل از همان زمانیکه علم مکانیک سیالات بنا نهاده شده است مبحث فوق مورد توجه بسیاری از محققین قرار گرفته است. جریان سیال از لحاظ نوع مرز به دو نوع محدود و نامحدود^۱ تقسیم می‌شود. جریان‌هایی را که سیال با مرز مادی هیچگونه تماس فیزیکی ندارد جریان‌های برش آزاد^۲ می‌گویند. جریان جت یکی از انواع جریان‌های برش آزاد محسوب می‌شود. [۶]

۱-۲- جریان‌های برش آزاد

در جریان‌های برش آزاد سیال هیچگونه تماس مرزی فیزیکی با محیط خود ندارد. به همین علت به آن جریان‌های برش آزاد می‌گویند. از انواع جریان‌های برش آزاد می‌توان دنباله^۳، جت^۴، لایه‌های اختلاطی^۵ و پلوم^۶ را نام برد. در شکل ۱-۱ می‌توان آنها را دید. در اینگونه جریانها با پیشروی برش آزاد در محیط، سیال محیط را با خود حمل می‌کنند و محیط‌های گردابه‌ای تولید می‌کنند. با بی‌بعد کردن ابعاد با یک طول مشخصه خاص و سرعت با مشخصه سرعت، پروفیل‌های سرعت و توزیع تنش‌های رینولدز در ایستگاه‌های مختلف در دامنه وسیعی به خوبی بر روی هم منطبق می‌شوند. به این پدیده خود تشابهی^۷ می‌گویند. [۶]

۱-۳- آشنایی با جریان جت

اگر یک سیال جدیدی در مومنتوم بالا، داخل یک سیال ساکن با دانسیته یکسان پاشیده شود، جت تشکیل می‌شود. به عبارت ساده‌تر، یک جت به وسیله خارج شدن جریانی از نازل در سیال

^۱ . Unbounded

^۲ . Free Shear Flow

^۳ . Weak

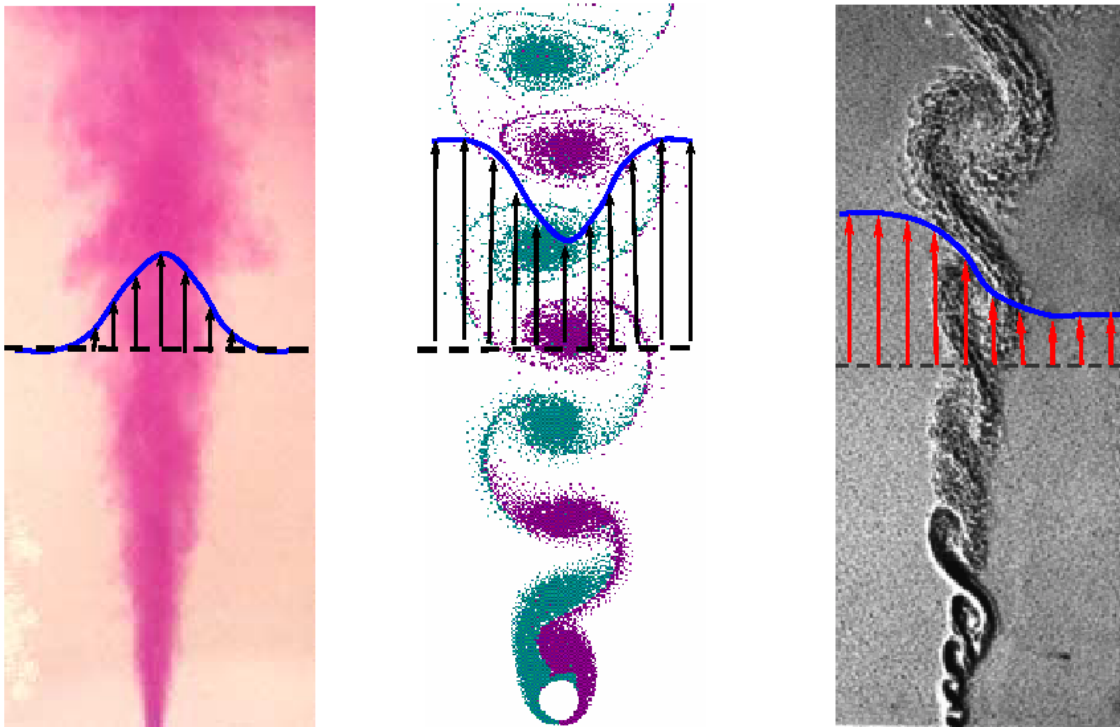
^۴ . Jet

^۵ . Mixing layer

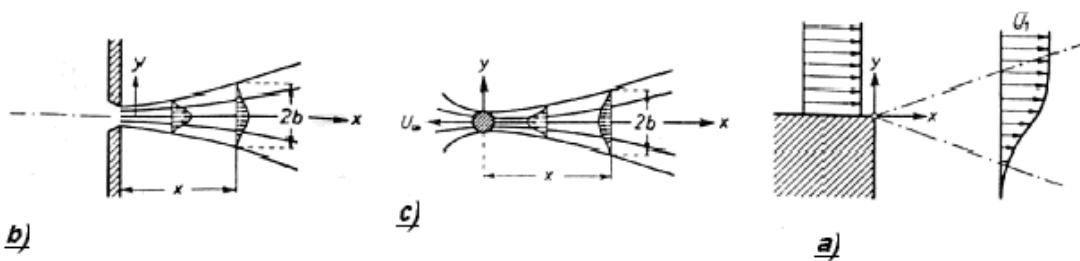
^۶ . Plum

^۷ . Self Similarity

محیط تشکیل می‌شود که این سیال محیط می‌تواند ساکن، در حال حرکت و یا مماس با یک سطح صلب باشد. اگر سیال محیط ساکن باشد یک جت آزاد^۱، اگر در حال حرکت باشد یک سری جت^۲ و اگر مماس با یک سطح صلب باشد به آن جت دیواره^۳ گویند.



شکل ۱-۱: نمایی از جت، دنباله و لایه اختلاطی و نوع پروفیل سرعت



شکل ۱-۲: (a) لایه اختلاطی (b) جت آزاد (c) دنباله پشت یک جسم [۸]

¹ . Free Jet Flow
² . Co flowing Jet
³ . Wall Jet

جت یکی از اشکال اصلی جریان محسوب می‌شود که به طور وسیع در بسیاری از کاربردهای عملی مثل محفظه پاشش سوخت، جلوبرندگی در موتور جت و ... به کار برده می‌شود. یکی از مهمترین بررسی‌های انجام شده برای جریان جت فرایند اختلاط و حمل سیال محیط یک جت با توجه به محیط خودش است. مثلاً پاشش سوخت باعث اختلاط یکنواخت‌تر شده و در نتیجه بازده احتراق افزایش می‌یابد و کارکرد موتور بهتر می‌شود. از جریان جت به طور وسیعی در بسیاری از کاربردهای عملی دیگر مانند گرمایش- سرمایش یا خشک کردن سریع برخی از انواع محصولات، خنک کردن قطعات الکترونیکی و پره‌های توربین‌ها را می‌توان نام برد. استفاده از جریان جت برای اختلاط بهتر در محفظه احتراق توربین‌های گازی و موتورهای احتراقی، بکارگیری جت سیال به عنوان عامل بالا برنده در هواپیماهای عمود پرواز ساکن و یا در حال حرکت می‌تواند گویای اهمیت این جریان باشد. استفاده از فشار برخوردی بسیار بالای جریان جت در فرایندهای مختلف ماشین‌کاری از قبیل برش، فرزکاری، تراشکاری، دریل و سوراخ زنی مواد سخت و کامپوزیت‌ها و ... نشان دهنده قابلیت بالای این جریان در کاربردهای صنعتی می‌باشد. جلوگیری و کنترل جدایش لایه مرزی بر روی بال هواپیماها و باله هلی‌کوپتر و افزایش لیفت و کاهش دراگ و جلوگیری از استال را می‌توان از کاربردهای دیگر این جریان شمرد. شکل ۱-۳ جزئیات جریان را در مورد نفوذ یک جت دو بعدی نشان می‌دهد.

دلایل مستند زیادی در مورد تشابه پروفیل‌های سرعت متوسط جت‌ها و دنباله‌ها در مقاطع مختلف وجود دارد. برای هر نوع جریان دارای پروفیل سرعت ناقوسی شکل، وقتی که سرعت‌ها به وسیله سرعت ماکزیمم متوسط و فواصل (ابعاد) به وسیله بعد عرضی بی بعد می‌شوند، پروفیل‌های سرعت دارای تشابه هندسی با هم می‌شوند. توجه کنید که مقیاس طول یا بعد عرضی می‌تواند به صورت نیم مقدار بعد عرضی باشد. فاصله نیم مقدار، فاصله‌ای از محور تقارن است که در آن سرعت متوسط برابر نصف سرعت ماکزیمم متوسط است. [۶]

۴-۱- تقریب ها در تحلیل جریان جت

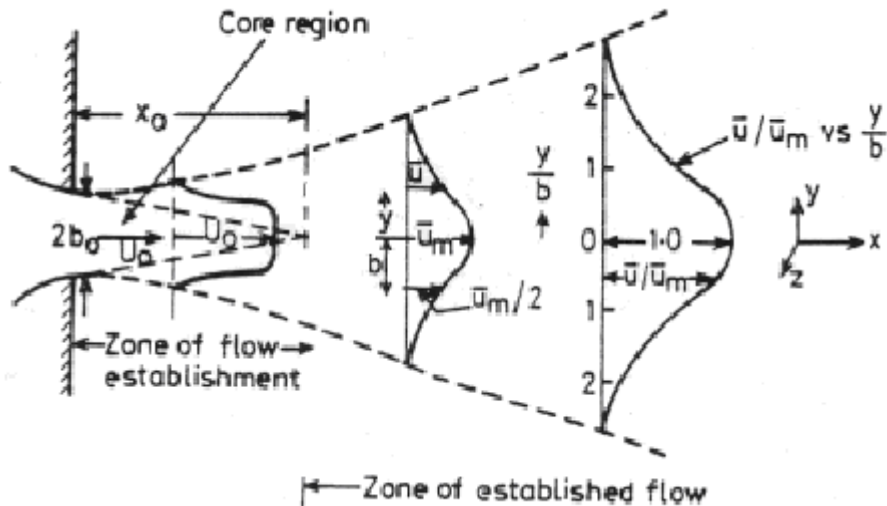
در تحلیل جت‌ها، می‌توان یک جهت اصلی را که سرعت جریان خیلی بزرگتر از دو جهت دیگر است متمایز کرد. همچنین پهنای عرضی خیلی کوچکتر از پهنای طولی است. در نتیجه $\partial/\partial x$ کوچکتر از هر دوی $\partial/\partial y$ و $\partial/\partial z$ است. از طرفی بعد پهلویی (بعد سوم) کوچک می‌باشد و مثل لایه مرزی، فشار در سرتاسر جت را می‌توان ثابت و معادل با فشار خارج جت فرض کرد. پس فشار را در جهت طولی ثابت در نظر می‌گیریم. در نتیجه، فرض می‌کنیم که فشار در هر جایی از میدان جریان جت ثابت است. با توجه به شدت اختلاط بالا و عدد رینولدز بزرگ، فرض قابل حذف بودن تنش‌های لزجت در برابر تنش‌های توربلانسی می‌تواند صحیح باشد. [۶]

۵-۱- توصیف جریان در یک جت

حالتی را بررسی می‌کنیم که جت مدور یا دو بعدی دارای سرعت زیاد، در یک سیال نامحدود وارد می‌شود. هر دوی سیالات دارای دانسیته ثابت هستند. به علت اختلاف سرعت خیلی زیاد در صفحه انفصال (منظور صفحه منطبق با خروجی نازل یا دهانه است)، ادی‌های بزرگی بوجود می‌آیند که موجب اختلاط عرضی شدید می‌شوند. فرایند اختلاط در جهت جریان پایین دست هم به سمت داخل و هم به سمت خارج جریان ادامه دارد، تا وقتی که سیال محیط به وسیله سیال جت جابجا می‌شود (عملاً سیال محیط شتابدار می‌شود)، سیال جت دچار کاهش شتاب می‌شود. در نتیجه افزایش وسعت جت (پهنای جت)، نرخ جریان در جهت جریان پایین دست به تدریج افزایش می‌یابد. در اینجا، حوزه مخروطی^۱ در جت دارای یک سرعت ثابت است و درهمی در مخروط کم می‌باشد، در صورتی که در لبه خارجی حوزه مخروط، سرعت متوسط به سمت خارج کاهش می‌یابد و جریان خیلی درهم می‌شود. در فاصله‌ای از سوراخ نازل در جریان پایین دست، خط

^۱ . Core Region

مرکزی جت^۱ دچار کاهش شتاب می‌شود، که محدوده بین خروجی جت از سوراخ و این مقطع به منطقه جریان در حال توسعه^۲ شناخته شده است که در شکل ۱-۳ می‌توانید این حوزه را مشاهده کنید. در این منطقه، تولید، رشد، تداخل و خرابی احتمالی ناشی از مقیاس‌های بزرگ ساختار توربلانسی، مکانیزم‌های اولیه‌ای هستند که موجب کاهش شتاب می‌شوند. [۶]



شکل ۱-۳: نفوذ جت در سیال محیط

در جریان پایین دست این منطقه، جت کاملاً درهم می‌شود و به طور پیوسته دچار کاهش شتاب می‌گردد. سرعت خط مرکزی کمتر از u_0 است و با افزایش x ، سرعت خط مرکزی همچنان رو به زوال می‌رود و دچار کاهش شتاب می‌شود.

در جریان پایین دست منطقه جریان در حال توسعه، توزیع سرعت متوسط در مقاطع مختلف مشابه می‌شود. این منطقه به منطقه جریان توسعه یافته^۳ (یا جریان کاملاً توسعه یافته) شناخته می‌شود. مقطع دقیق مجزا کننده جریان توسعه یافته و جریان در حال توسعه دقیقاً مشخص شده نیست و در آزمایشات می‌توان آن را مشخص کرد. در نهایت، در فاصله‌ای بعد از مقطع سوراخ (مقطع بیرون ریزی جت)، سرعت خط مرکزی به طور قابل ملاحظه‌ای کوچک می‌شود.

¹. Center Line Jet

². Zone Of Flow Establishment

³. Zone Of Established Flow

فصل دوم

مقدمه ای بر نانوسیالها

۲-۱- مرور کلی نانو سیالات

نانوسیالها یک مخلوط ساده از سیال و جامد نیستند.

یک نانوسیالها دارای خواص و خصوصیات خاصی است من جمله پایداری سوسپانسیون، حداقل

بودن تمرکز و تجمع ذرات عدم تغییرات شیمیایی سیال پایه .

باری به هر جهت نانو سیالها از دو بخش کلی تشکیل می شوند.

۱- نانو ذرات شامل:

cu, Al_2O_3 که معمولترین نانو ذرات اکسید فلزی هستند.

نانوذرات فلزی بیشتر شامل Al, cu میشوند .

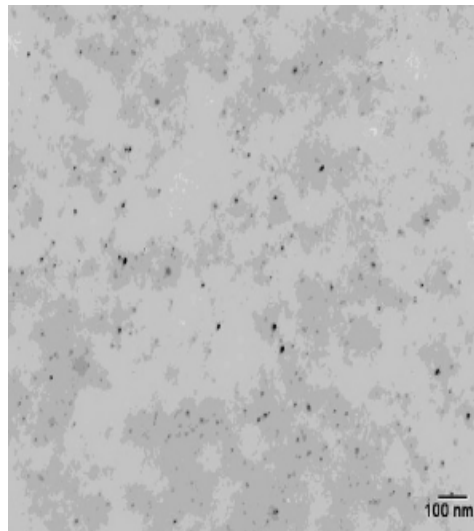
کربیدهای فلزی مانند TiC و SiC نیز نوع دیگری از نانوذرات را تشکیل میدهند.

نانو ذرات نیتریدی SiN, AlN نیز نوع دیگری از نانو ذرات می باشند.

نوع دیگر و بسیار مهم نانوذرات شامل گرافیت و کربن نانوتیوب یک، دو و یا چند دیواره و مواد

کامپوزیت $NCSC^1$ می باشند.

۲- سیال پایه : شامل آب، اتیلن گلیکول، روغن و محلولهای پلیمری و...



شکل ۲-۱ نمایشی واقعی از نانوسیال

¹ . Nanoparticle Core – polymer Shell Composites

۲-۲- ویژگی های اصلی نانو سیالات

محققان مختلفی از تشکیلات مختلف با بررسی روی نانو سیالات رفتار های یکسانی از آنها مشاهده کردند :

۱-افزایش غیر عادی در قابلیت هدایت حرارتی سیال پایه.

استمن یک افزایش ۴۰ درصدی در خواص هدایتی اتیلن گلیکول همراه با نانوذرات مس با قطر ۱۰ نانو متر با ۳درصد حجم گزارش کرد.[۲۶]

داس از یک افزایش ۲۵ درصدی در آب با کسر حجمی^۲ ۴-۱ درصد از نانو ذرات اکسید آلومینیوم گزارش کرد.[۲۷]

۲-افزایش غیر عادی ویسکوزیته سیال پایه.

چو و پاک ویسکوزیته را در نانو سیال آب -اکسید آلومینیوم و آب - اکسید تیتانیوم در کسر حجمی ۱-۱۰ درصد اندازه گیری کردند و به این نتیجه رسیدند که ویسکوزیته اینگونه از نانو سیالات خیلی بیشتر از آب خالص است و این به خوبی با مدل های مرسوم ویسکوزیته نظیر برینکمن^۳ مطابقت داشت . [۲۸]

۳-افزایش غیر عادی ضریب انتقال حرارت جابجایی تک فاز نسبت به سیال پایه.

چو و پاک داده های انتقال حرارت برای نانو سیالاتی نظیر اکسید آلومینیوم- آب و اکسید تیتانیوم- آب در جریان مغشوش داخل لوله استوانه ای گزارش دادند داده های آنها بیانگر این امر است که عدد ناسلت به میزان حدوداً ۳۰ درصد نسبت به مقدار پیش گویی شده توسط رابطه سیال خاص (دتیوس - بولتر) بیشتر می باشد.[۲۸]

^۲ . Volume Fraction

^۳ . Brinkman

استمن در مرور وسیعی که روی مطالعات قبلی انجام شده در مورد نانو سیالات داشت ، نشان داد که با وجود تلاشهای فراوانی که در این زمینه انجام شده است ، هنوز یک توضیح رضایت بخش برای افزایش غیر عادی قابلیت هدایت حرارتی و ویسکوزیته نانو سیالات ارایه نشده است. [۲۹]

از دیگر ویژگی های کلیدی نانوسیالات که تا کنون کشف شده اند می توان افزایش قابل توجه قابلیت هدایت حرارتی باغلظتهای پایین ذره ، وابستگی شدید هدایت گرمایی به دما و افزایش چشم گیر در شار بحرانی را نام برد.

هرکدام از این ویژگیها در جای خود برای سیستم حرارتی بسیار مطلوب می باشد و در کنار هم نانو سیالات را بهترین کاندیدا برای تولید سردکننده های مبتنی بر مایع می نماید.

۲-۳- کاربردهای نانو سیالات

نانو سیالات کاربرد زیادی دارند، در واقع سایر ذرات محلول در آن است که چنین تفاوتی در خواص آنها ایجاد می کند و ویژگیهای کاملاً متفاوت از سیال پایه خود دارند. همچنین خیلی از مسائل در مورد نانو سیالات نامعلوم است و نیازمند کار و آزمایش و تحقیقات بیشتری است تا بتوان تئوری هایی در این زمینه مطرح کرد و خواص فیزیکی و شیمیایی آنها بهتر مشخص شود در این صورت می توان مسائل هزینه ساخت و تولید این سیالات را پایین آورد و در صنایع مختلف استفاده کرد تا به مرحله تجاری رساند.

نانو سیالات را می توان در سیستم های گرمایی متنوع برای کاربردهای مهمی من جمله برای خنک کاری در وسایل نقلیه برای بهبود انتقال حرارت و بازده انرژی به کار برد.

اخیراً تعداد شرکتهایی که پتانسیل موجود در تکنولوژی نانو سیالات پی برده و در تلاش برای توسعه این زمینه برای کاربردهای ویژه صنعتی می باشد رو به افزایش می باشد .

شرکتهای FORD و GM در میان شرکتهای دیگر که در صنعت حمل و نقل کار میکنند در مورد علم نانوسیالات و کاربرد آن در صنعت خود قدم های استواری را برداشته و به سرعت در حال پیشرفت می باشند.

برخی از کاربردهای نانوسیالات در صنایعی نظیر حمل و نقل، میکرو الکترونیک، صنایع دفاعی، هسته ای، فضایی و بیولوژیکی می باشد.

۲-۴- تحقیق عددی

برای شبیه سازی عددی دوروش پذیرفته شده است. روش اول نانوسیالها پیوسته^۴ فرض می شوند و تک فازی^۵ بررسی می شوند.

^۴ . Continuum

^۵ . Single Phase

در این روش خواص ترمودینامیکی موثر جایگزین خواص ترمودینامیکی سیال پایه می شوند. روش دوم نانو سیالها به صورت دو فاز^۶ مدل می شوند. روش تک فاز بسیار ساده تر و از نظر محاسباتی بسیار کارآمدتر است. و این در حالی است که روش دو فاز دقیقتر است. روش دیگری نیز قابل قبول است که روش بلتزن^۷ نام دارد. در این پروژه برای شبیه سازی از مدل تک فاز استفاده کرده ایم. نانو سیال مورد بررسی در این پروژه متشکل از نانوذره اکسید آلومینیوم کروی شکل و آب به عنوان سیال پایه است. برای تعیین خواص ترمودینامیکی این نانو سیال از فرمولهای زیر استفاده کرده ایم.

$$\rho_{nf} = (1 - \varphi)\rho_{bf} + \varphi\rho_p \quad (1-2)$$

$$(c_p)_{nf} = (1 - \varphi)(c_p)_{bf} + \varphi(c_p)_p \quad (2-2)$$

معادلات ۱-۲ و ۲-۲ توسط چو و پاک ارائه شده است. [۲۸]

$$\mu_{nf} = (123\varphi^2 + 7.3\varphi + 1)\mu_{bf} \quad (3-2)$$

این فرمول با فیت کردن تابع درجه ۲ از اطلاعات به دست آمده از نتایج تجربی (لی (۱۹۹۹) و ماسودا (۱۹۹۹) و وانگ (۱۹۹۹)) ارائه شده است. [۳۰ و ۳۱ و ۳۲]

$$K_{nf} = (4.97\varphi^2 + 2.72\varphi + 1)K_{bf} \quad (4-2)$$

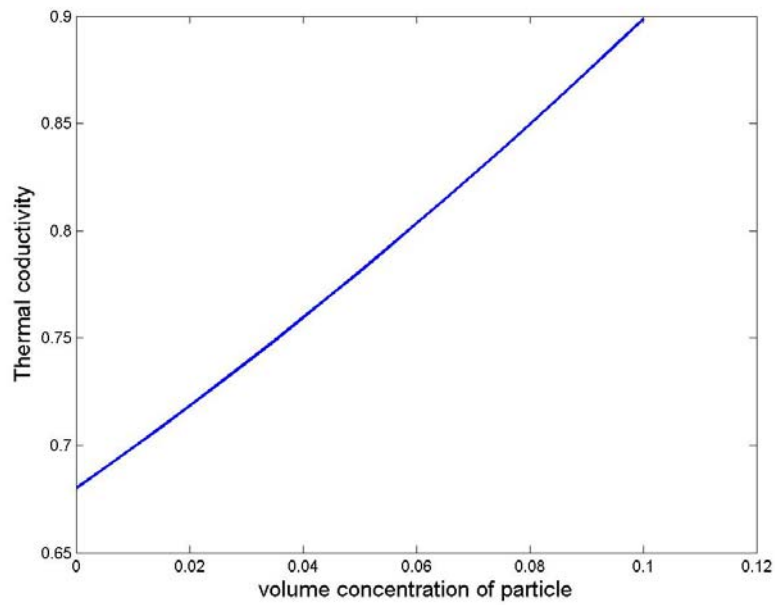
این فرمول توسط مایگا (۲۰۰۵) ارائه شده است. [۳۳]

⁶ . Two Phase

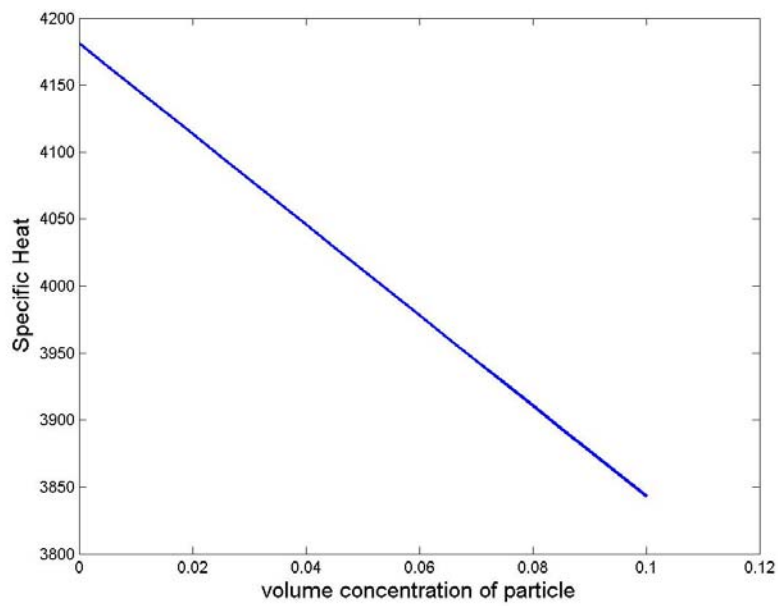
⁷ . Boltzmann Theory

شکلهای زیر بیانگر وابستگی خواص ترمودینامیکی و اعداد بی بعد به غلظت نانو سیال

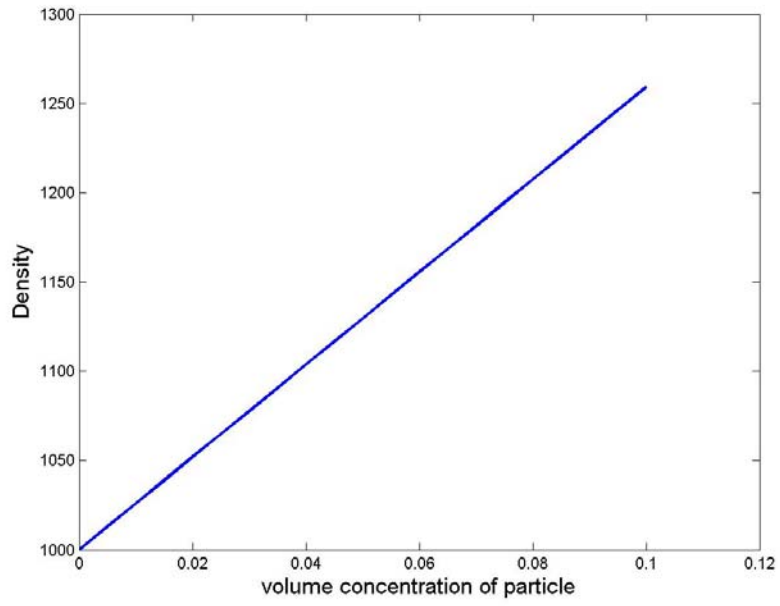
هستند.



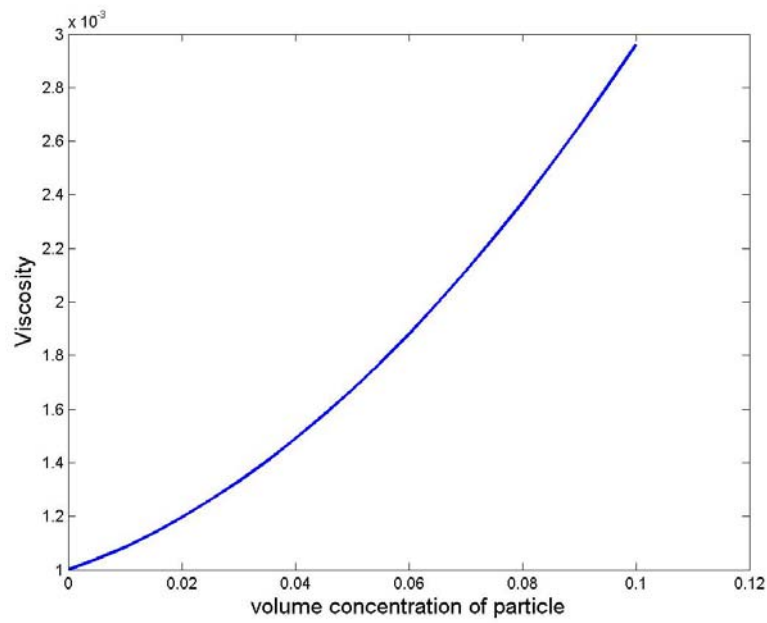
شکل ۲-۲ نمودار ضریب هدایت بر حسب کسر حجمی



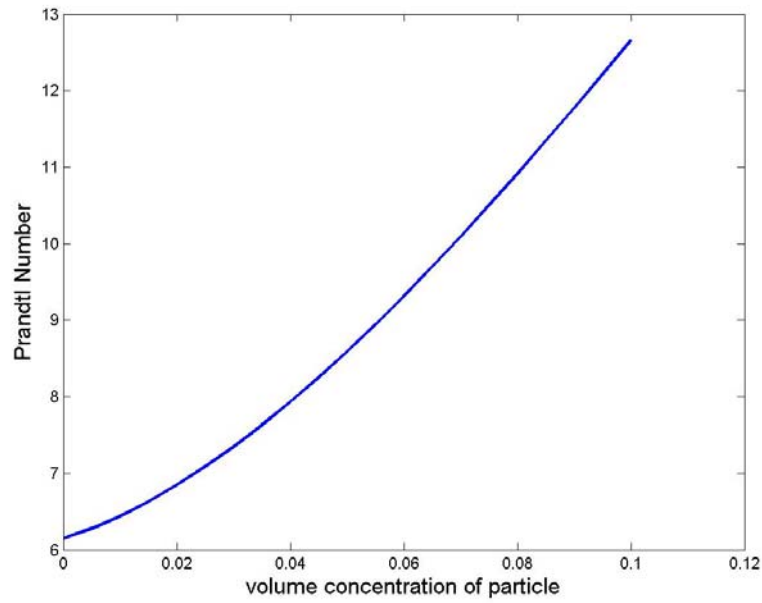
شکل ۲-۳ نمودار ظرفیت گرمایی ویژه بر حسب کسر حجمی



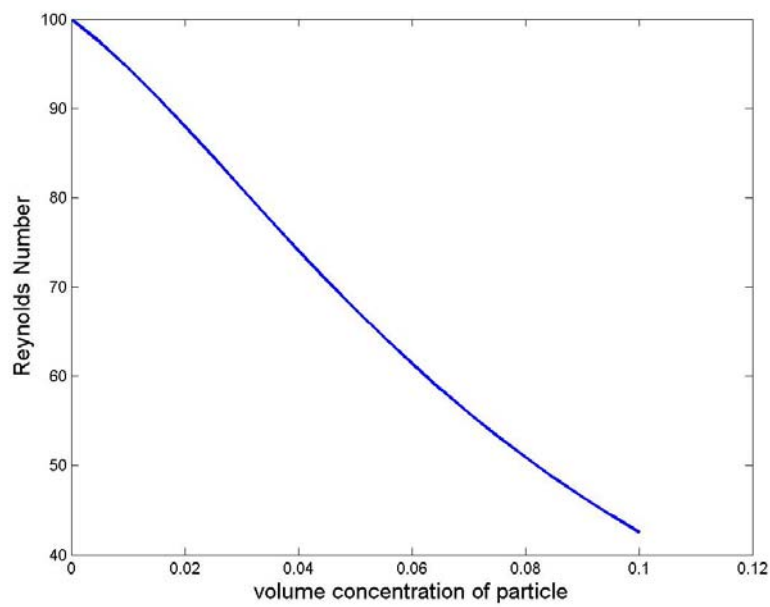
شکل ۲-۴ نمودار دانسیته بر حسب کسر حجمی



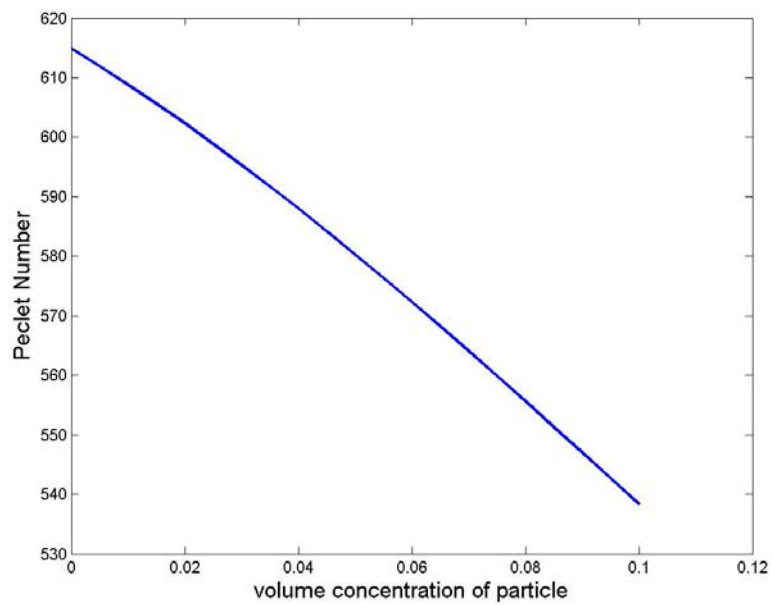
شکل ۲-۵ نمودار ویسکوزیته دینامیک بر حسب کسر حجمی



شکل ۲-۶ نمودار عدد پراتل بر حسب کسر حجمی



شکل ۲-۷ نمودار عدد رینولدز بر حسب کسر حجمی



شکل ۲-۸ نمودار عدد پکلت بر حسب کسر حجمی

فصل سوم

مروری بر کارهای انجام شده

۳-۱- مقدمه

همانطور که قبلاً هم اشاره شد، جریان جت از لحاظ هندسه خروجی به دو نوع مدور^۱ و صفحه‌ای^۲ تقسیم بندی می‌شود. در این میان جت مدور به دلیل داشتن هندسه منفذ خروجی خاص بیشتر مورد توجه محققان حاضر قرار گرفته است. بررسی‌های بسیاری بر روی جت های دو بعدی توسط دانشمندانی مثل گوتلر^۳ [۷] و تولمین^۴ [۱۹] و شلیختینگ^۵ [۱۶] انجام شده که به صورت تحلیلی و بررسی‌های آزمایشی بوده است. در این فصل با ارائه نتایج کارهای این افراد در مورد جت دو بعدی، علاوه بر آشنایی بیشتر با جریانات جت دو بعدی، میزان انطباق بین نتایج تئوری و حل‌های عددی و نتایج آزمایشی را می‌توان لمس کرد.

۳-۲- تحلیل جت های دو بعدی توربلانس [۶]

چندین مشخصه جت دو بعدی یا سه بعدی نفوذ کننده در یک سیال نامحدود می‌تواند به وسیله تحلیل انتگرالی بدست آید. اگر فرض شود که توزیع سرعت مشابه باشد یعنی $\frac{\bar{u}}{\bar{u}_m} = f(\eta)$ ، که $\eta = y/b$ برای جت دو بعدی است، که در اینجا b به صورت نصف پهنای جت یا فاصله از محور تقارن در نظر گرفته می‌شود که $\bar{u} = \bar{u}_m / 2$ ، (شکل ۱-۳ را ببینید) که \bar{u}_m هم سرعت خط مرکزی است. ابتدا، به ما اجازه بدهید که یک جت دو بعدی با نصف پهنای b_0 را بررسی کنیم و معادله مومنوم را برای جریان متوسط به کار ببریم. از آنجا که فرض کردیم که فشار ثابت باشد، و چون نیروی فعال

¹ Round

² Plane

³ Gortler

⁴ Tolmien

⁵ Schlichting

بیرونی هم روی سیال وجود ندارد، شار مومنتوم M از مقطعی به مقطعی دیگر باید ثابت باقی بماند. در نتیجه، در منطقه جریان توسعه یافته داریم:

$$\frac{\partial M}{\partial x} = 0 \quad (1-3)$$

اما:

$$M = 2 \int_0^{\infty} \rho \bar{u}^2 dy = 2 \rho \bar{u}_m^2 b \int_0^{\infty} f^2(\eta) d\eta \quad (2-3)$$

$\partial M / \partial x = 0$ نشان می‌دهد که:

$$\partial / \partial x [2 \rho \bar{u}_m^2 b \int_0^{\infty} f^2(\eta) d\eta] = 0 \quad (3-3)$$

از آنجا که $\int_0^{\infty} f^2(\eta) d\eta$ یک مقدار عددی است و برای قانون توزیع سرعت شناخته شده و ثابت می‌باشد،

ثابت بودن M از مقطعی به مقطع دیگر نشان می‌دهد که:

$$\partial / \partial x (\bar{u}_m^2 b) = 0 \quad (4-3)$$

یا $\bar{u}_m^2 b$ مستقل از x است، یعنی:

$$\bar{u}_m^2 b \propto x^0 \quad (5-3)$$

با فرض اینکه $\bar{u}_m \propto x^p$ و $b \propto x^q$:

$$2p + q = 0 \quad (6-3)$$

$$\bar{u}_m^2 b \propto x^{2p+q}$$

با دانستن اینکه عرض نیم جت b است و \bar{u}_m با x تغییر می‌کند، ما به یک معادله بیشتر احتیاج داریم، که این معادله می‌تواند با بکار بردن $\frac{\bar{u}}{\bar{u}_m} = f(\eta)$ ، $\bar{u}_m \propto x^p$ ، $b \propto x^q$ ، $\tau_i / \rho \bar{u}_m^2 = g(\eta)$ و معادله ناویر استوکس در حالت پایدار بدست آورد:

$$\bar{u} \frac{\partial \bar{u}}{\partial x} + \bar{v} \frac{\partial \bar{u}}{\partial y} = \frac{1}{\rho} \frac{\partial \tau_i}{\partial y} \quad (7-3)$$

چنین تحلیلی به وسیله راجاراتنام^۱ [۶] انجام شده و $p = -0.5$ بدست آمده است. پس:

$$\begin{aligned} \bar{u}_m &\propto 1/\sqrt{x} \\ b &\propto x \end{aligned} \quad (8-3)$$

راجاراتنام همچنین نشان داد که اگر از فرم انتگرالی معادله انرژی استفاده شود $q = 1$ می‌شود. قبلاً هم ذکر شد که به علت سوار کردن سیال محیط توسط جت، تخلیه Q در جت در جهت جریان پایین دست افزایش می‌یابد. همچنین ماهیت وابسته Q همانند b و \bar{u}_m می‌تواند از تحلیل ابعادی تعیین شود. با حذف اثرات لزجت، یعنی برای مقادیر بالای عدد رینولدز، می‌توان نوشت:

$$b, \bar{u}_m \text{ or } Q = f(M_0, \rho, x) \quad (9-3)$$

که M_0 برابر است با شار مومنتوم اولیه و برابر $2b_0 \rho u_0^2$ می‌باشد.

با آنالیز ابعادی داریم:

$$\bar{u}_m / \sqrt{M_0 / \rho x} = C_1 = \text{const} \quad (10-3)$$

که با جاگذاری مقادیر M_0 داریم:

$$\bar{u}_m / u_0 = \sqrt{2C_1 b_0 / x}; \text{ or } : \bar{u}_m \propto 1/\sqrt{x} \quad (11-3)$$

¹ Rajaratnam

همچنین:

$$b/x = C_2, \text{ or } : b/b_0 = C_2 x/b_0 \Rightarrow b \propto x \quad (۱۲-۳)$$

و بالاخره:

$$Q/\sqrt{M_0 x/\rho} = C_3 \Rightarrow Q/Q_0 = C_3 \sqrt{x/2b_0} \quad (۱۳-۳)$$

که $Q_0 = 2b_0 u$ می باشد.

توزیع سرعت در منطقه جریان توسعه یافته به وسیله تولمین و گوتلر مطالعه شده است. تحلیل تولمین در زیر آورده شده است :

برای شروع با بکاربردن فرضیه طول اختلاط پیرانتل، تولمین، τ_i را به صورت زیر بیان کرد:

$$\tau_i = \rho l^2 \left(\frac{\partial \bar{u}}{\partial y} \right)^2 \quad (۱۴-۳)$$

که در اینجا l طول اختلاط می باشد. بررسی های ابعادی نشان می دهد که در هر مقطع $l = \beta b$ است و از آنجا که $b = C_2 x$ می باشد، پس l به صورت زیر بیان شده است:

$$l = \beta C_2 x \quad (۱۵-۳)$$

که β یک ثابت می باشد. در نتیجه $\frac{1}{\rho} \frac{\partial \tau_i}{\partial y}$ به صورت زیر بیان می شود:

$$\frac{1}{\rho} \frac{\partial \tau}{\partial y} = 2(\beta C_2)^2 x^2 \left(\frac{\partial \bar{u}}{\partial y} \right) \left(\frac{\partial^2 \bar{u}}{\partial y^2} \right) \quad (۱۶-۳)$$

که می توان قرارداد کرد که $a^3 = 2(\beta C_2)^2$ که a یک ثابت می باشد.

از آنجا که توزیع سرعت می‌تواند به صورت $\bar{u}/\bar{u}_m = f(y/b)$ بیان شود، آن را می‌توان به صورت زیر هم نوشت:

$$\frac{\bar{u}}{\bar{u}_m} = f(y/ax) = f(\varphi) \quad (۱۷-۳)$$

که $\varphi = y/ax$ است و a بعداً به طور آزمایشی تعیین می‌شود. همانطور که نشان دادیم $\bar{u}_m \propto 1/\sqrt{x}$ است آن را می‌توان به صورت زیر هم نوشت:

$$\bar{u}_m = n/\sqrt{x} \quad (۱۸-۳)$$

که n مستقل از x است. در نتیجه:

$$\bar{u} = \frac{n}{\sqrt{x}} f(\varphi) \quad (۱۹-۳)$$

به منظور بیان \bar{u} و \bar{v} در ترمهایی از یک متغیر، بهتر است که تابع جریانی^۱ را به صورت زیر تعریف کنیم:

$$\bar{u} = \partial\psi/\partial y \quad (۲۰-۳)$$

$$\bar{v} = -\partial\psi/\partial x$$

$$\Rightarrow \psi = \int \bar{u} dy = \frac{n}{\sqrt{x}} \int f(\varphi) ax d\varphi \quad (۲۱-۳)$$

$$\Rightarrow \psi = an\sqrt{x}F \Rightarrow F = \int f d\varphi$$

با بکاربردن معادلات ۲۰-۳ و ۲۱-۳، عبارات \bar{u} و \bar{v} و $\partial\bar{u}/\partial x$ و $\partial\bar{v}/\partial y$ و $\partial\tau_r/\partial y$ را می‌توان در ترمهایی از F و مشتقاتش بیان کرد.

با جاگذاری آنها در معادله ناویراستوکس، داریم:

^۱ Stream Function

$$2F''F''' + FF'' + F'^2 = 0 \quad (۲۲-۳)$$

$$\text{or} : 2F''F''' + \frac{d}{d\varphi}(FF') = 0$$

که با انتگرال گیری داریم:

$$FF' + F''^2 = C \quad (۲۳-۳)$$

شرایط مرزی برای حل این معادله دیفرانسیلی غیر خطی عادی به صورت زیر است:

$$1) y = 0, \bar{u} / \bar{u}_m = 1 \rightarrow \varphi = 0, F' = 1, \text{or}, F'(0) = 1$$

$$2) y = \infty, \bar{u} / \bar{u}_m = 0 \rightarrow \varphi = \infty, F' = 0, \text{or}, F'(\infty) = 0$$

$$3) y = 0, \bar{v} = 0 \rightarrow \varphi = 0, F = 0, \text{or}, F(0) = 0$$

$$4) y = 0, \tau_t = 0 \rightarrow \varphi = 0, F'' = 0, \text{or}, F''(0) = 0$$

$$5) y = \infty, \tau_t = 0 \rightarrow \varphi = \infty, F'' = 0, \text{or}, F''(\infty) = 0$$

از این شرایط مرزی می توان دید که وقتی $\varphi = 0$ است، معادله ۲۳-۳ نتیجه می دهد که $C=0$ است،

پس معادله ۲۳-۳ تبدیل می شود به :

$$FF' + F''^2 = 0 \quad (۲۴-۳)$$

تولمین این معادله را به صورت عددی حل کرد و مقدار آزمایشی ضریب a را با بکاربردن داده های

جمع آوری شده به وسیله ریچارد^۱ [۱۴] تعیین کرد.

^۱ Richardt

گوتلر فرض کرد که برش توربلانس در معادله ناویر استوکس را می‌توان به صورت $\tau_r = \rho \varepsilon \frac{\partial \bar{u}}{\partial y}$ بیان

کرد، و همچنین با فرض اینکه $\frac{\bar{u}}{\bar{u}_m} = F'(\sigma y/x)$ است که σ یک ثابت می‌باشد، او یک تابع جریان به

صورت زیر معرفی کرد:

$$\psi = \frac{n\sqrt{x}}{\sigma} F(\xi) \rightarrow \xi = \sigma y/x \quad (25-3)$$

و مقادیر \bar{u} و \bar{v} و $\partial \bar{u}/\partial x$ و $\partial \bar{v}/\partial y$ و τ_r را با جایگذاری آنها در معادله ناویر استوکس بدست آورد.

پس داریم:

$$2FF' + F'' = 0 \quad (26-3)$$

که با انتگرال گیری داریم:

$$F' + F^2 = C \quad (27-3)$$

و با شرایط مرزی:

$$F'(0) = 1, F'(\infty) = 0, F''(0) = 0, F(0) = 0, F''(\infty) = 0$$

از معادله ۲۷-۳ می‌توان دید که در $\xi = 0$ ، $C = 1$ است، پس معادله ۲۷-۳ برابر می‌شود با:

$$F' + F^2 = 1 \quad (28-3)$$

این معادله یک حل واقعی دارد و برابر است با:

$$F = \tanh \xi = \frac{1 - e^{-2\xi}}{1 + e^{2\xi}} \quad (29-3)$$

پس داریم:

$$\bar{u}/\bar{u}_m = F' = 1 - \tanh^2 \xi \quad (30-3)$$

جزئیات حل گوتلر به وسیله راجاراتنام داده شده است. در اینجا دوباره σ یک ثابت است که لازم است که از آزمایشات تعیین شود. فرضیه انتقال ورتیسیتیه هم برای مطالعه توزیع سرعت در یک جت بکار برده شده است که به وسیله گلدستاین^۱ [۶] بحث شده است.

۳-۳- مطالعات آزمایشی

بسیاری محققان به بررسی جت های صفحه ای پرداخته اند که به منظور بدست آوردن اطلاعات مفید در مورد تعیین توزیع سرعت و قابلیت تخریب جریان می باشد. آزمایشات نشان داد که محل مبدا واقعی که جت شروع می شود با شروع از نازل منطبق نیست. در بعضی موارد محل مبدا واقعی جت در پشت نازل و در یک سری موارد هم در جلوی نازل بوده است. بعلاوه، مشخص شد که محل مبدا واقعی به مرحله توربلانسی در جریان در نازل حساس است. در نتیجه، برای اهداف خاصی، محل مبدا با نازل منطبق می باشد.

البرتسون فهمید که طول منطقه در حال توسعه به وسیله $x_0/b_0 = 10.4$ داده شده است. در این منطقه، آنها فرض کردند که در حوزه مخروطی سرعت ثابت است و در منطقه اختلاط، توزیع گوسی است. برای تغییرات دبی حجمی تخلیه و انرژی سینیتیک در منطقه جریان در حال توسعه آنها پیدا کردند که:

$$\begin{aligned} Q/Q_0 &= 1 + 0.04x/b_0 \\ E/E_0 &= 1 - 0.018x/b_0 \end{aligned} \quad (3-31)$$

که $E_0 = b_0 \rho u_0^3$ و $Q_0 = 2b_0 u_0$.

¹ Goldestain

در منطقه جریان در حال توسعه، ثابت در معادله $\bar{u}_m / u_0 \propto 1 / \sqrt{x/b_0}$ برابر است با ۳.۲۲۴ که به وسیله البرتسون^۱ پیدا شده است، در حالی که ابرامویچ^۲ مقدار ۳.۷۸ را اعلام کرد. زیگنن^۳ ترجیح داد که معادله را به فرم زیر بیان کند:

$$\bar{u}_m / u_0 = C_1 / \sqrt{(x + C^* b_0) / b_0} \quad (۳۲-۳)$$

که C_1 از ۳.۱۲ تا ۳.۷۸ و C^* هم از ۰ تا ۲.۴ تغییر می کند. راجاراتنام توصیه کرد که مقادیر C_1 و C^* به ترتیب برابر ۳.۵ و ۰ باشند.

۳-۴- توزیع سرعت

محققان همچنین توزیع سرعت در منطقه جریان توسعه یافته را پیدا کردند. البرتسون فرض کرد که آن به صورت گوسی باشد و آن را به طور آزمایشی تأیید کرد. زیگنن توزیع را به فرم زیر بیان کرد:

$$\bar{u} / \bar{u}_m = e^{-a_1 \lambda^2} \quad (۳۳-۳)$$

که $\lambda = y/x$ و a_1 از ۷۰.۷ تا ۰.۷۵ تغییر می کند. با جاگذاری $b = .1x$ و $a = 70.7$ داریم:

$$\bar{u} / \bar{u}_m = e^{-70.7(y/b)^2} \quad (۳۴-۳)$$

توزیعات سرعت بدست آمده به وسیله تولمین و گوتلر در یک فرم جدولی به صورت تغییرات \bar{u} / \bar{u}_m نسبت به y/b داده شد که وقتی $\bar{u} = 0.5\bar{u}_m$ می باشد $y = b$ است. آزمایشات نشان داد که مقدار a در آنالیز تولمین از ۰.۰۹ تا ۰.۱۲ تغییر می کند. اگر a به صورت ۰.۱۰ در نظر گرفته شود، مقادیر جدول زیر از \bar{u} / \bar{u}_m مطابق با تولمین می باشد:

¹ Albertson

² Abramovich

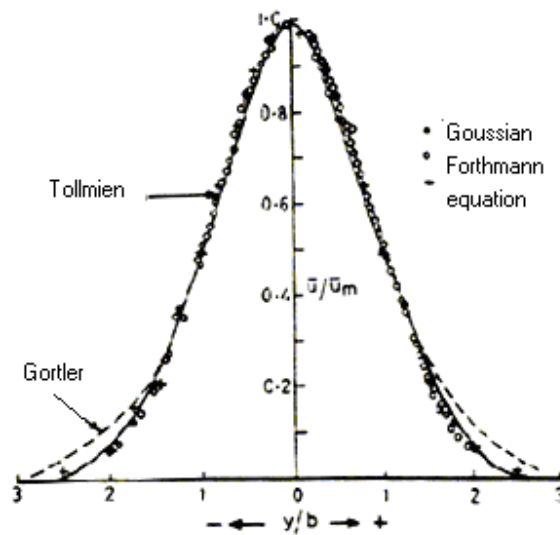
³ Zigenen

جدول ۱-۳: حل تولمین برای توزیع سرعت در جت دو بعدی

y/b	0.0	0.105	0.209	0.419	0.628	0.838	1.048	1.255
\bar{u}/\bar{u}_m	1.00	0.979	0.946	0.842	0.721	0.608	0.474	0.357
y/b	1.465	1.780	1.990	2.200	2.300	2.400	2.500	
\bar{u}/\bar{u}_m	0.249	0.125	0.067	0.030	0.020	0.009	0.000	

جدول ۲-۳: حل گوتلر برای توزیع سرعت در جت دو بعدی

y/b	0.0	0.114	0.227	0.341	0.455	0.568	0.682	0.795	
\bar{u}/\bar{u}_m	1.00	0.990	0.961	0.915	0.855	0.788	0.711	0.635	
y/b	0.909	1.022	1.136	1.362	1.590	2.045	2.270	2.500	2.840
\bar{u}/\bar{u}_m	0.558	0.486	0.420	0.302	0.218	0.102	0.070	0.048	0.021



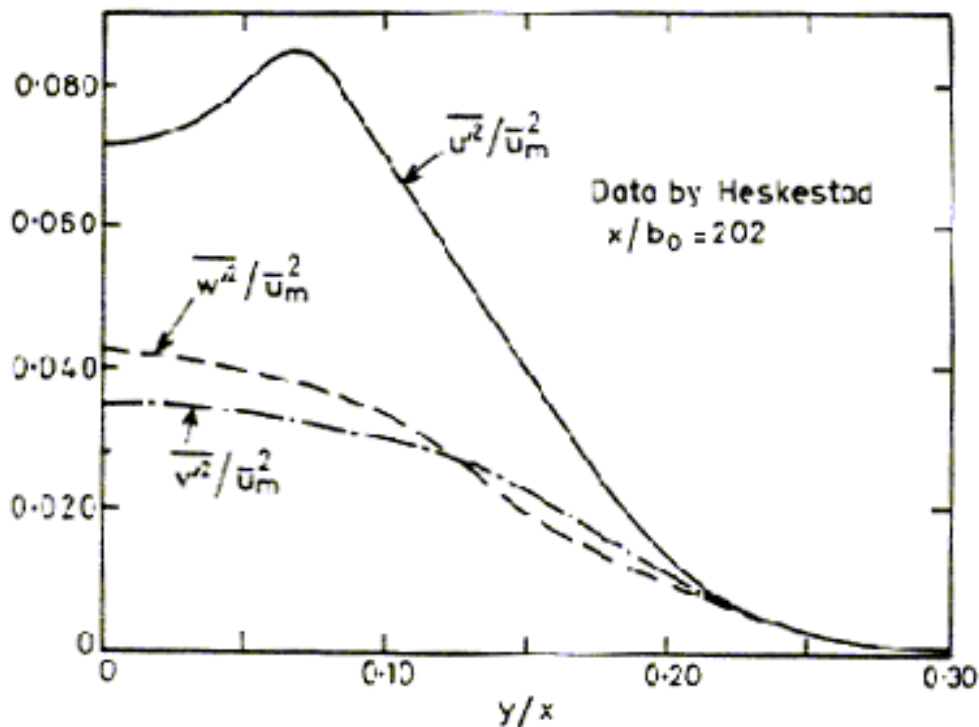
شکل ۱-۳: توزیع سرعت در منطقه جریان توسعه یافته (جت دو بعدی) [۶]

در حالت یکسان، مقدار σ در حل گوتلر برابر ۷.۷۶ پیدا شده بود. با این مقدار از σ ، حل گوتلر در جدول ۲-۳ جدول بندی شده است. شکل ۱-۳ توزیعات گوسی تولمین، گوتلر را در فرم بی بعد و فقط با داده های فورتمن نشان می دهد. به خوبی دیده می شود که توزیعات گوسی و تولمین در روی همه محدوده های y/b با هم منطبق هستند. در بخش مرکزی برای مقادیر y/b کمتر از ۱.۵، گوتلر توافق خوبی دارد، اما در محدوده خارج آن مقدار سرعت را بیشتر نشان می دهد. در منطقه جریان توسعه یافته تغییر تخلیه و تغییر انرژی سینیتیک به طور تحلیلی می تواند بدست آید. با ثوابت آزمایشی، روابط توسط البرتسون به صورت زیر در آمده اند:

$$\begin{aligned} Q/Q_0 &= 0.44\sqrt{x/b_0} & (3-35) \\ E/E_0 &= 2.64\sqrt{b_0/x} \end{aligned}$$

۳-۵- توربلانس در جت های دو بعدی

بعضی اندازه گیری های توربلانس جت دو بعدی به وسیله زیگنن و میلر و کامینگز و هسکستاد و گوتمارک و ویگننسکی انجام شد. این مطالعات نشان می دهد که توزیع شدت توربلانس در سرتاسر جت، بعد از $x/b = 85$ تا ۹۰ مشابه است. شکل ۲-۳ تغییرات $\overline{u'^2}/\overline{u_m^2}$ ، $\overline{v'^2}/\overline{u_m^2}$ و $\overline{w'^2}/\overline{u_m^2}$ را با y/x به صورتی که توسط هسکستاد بدست آمده برای $x/b_0 = 202$ نشان می دهد.



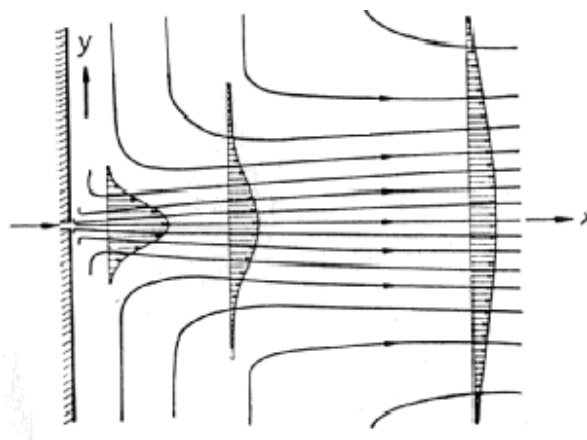
شکل ۳-۲: تغییر شدت توربلانسی در سرتاسر جت دو بعدی در محدوده کاملاً توسعه یافته [۶]

هسکستاد و گوتمارک و ویگننسکی همچنین ریز مقیاسهای پهلویی و طولی توربلانس λ_g و λ_f را تعیین کردند، که دارای مقادیری از ۶-۷ میلیمتر و ۴-۵ میلیمتر در نزدیک نازل بودند، و آنها در جهت جریان پایین دست به تدریج افزایش می یابند. مقیاس طول کولموگروف^۱ هم از ۰.۰۸ میلیمتر در $x/b_0 = 4.0$ تا ۰.۱۲ در $x/b_0 = 240$ افزایش یافت. برای x/b_0 بزرگتر از تقریباً ۷۰، محققان در یافتند که $\sqrt{u'^2}/\bar{u}_m = 0.22$ to 0.25 است که به روشنی کوچکتر از مقادیر مطابق با مقادیر برای جت دایره ای است.

^۱ Kolmogorov

۳-۶- تحلیل جت های دو بعدی آرام [۱۶]

خروج یک جت از یک سوراخ مثالی از حرکت سیال در غیاب مرزهای صلب است که در آن می توان از تئوری لایه مرزی کمک گرفت. هدف، بحث در مورد یک جت دو بعدی آرام است، پس ما باید فرض کنیم که جت از یک شکاف بلند و باریک خارج می شود و با سیال محیط مخلوط می شود. این مسئله به وسیله شلیختینگ [۱۷] و بیکیلی^۱ [۴] حل شده است. در عمل یک جریان جت به راحتی در هم می شود ولی در اینجا با فرض آرام ماندن جریان، جت را تحلیل می کنیم. جت مقداری از سیال محیط را (که به طور اولیه در حال سکون می باشد) به علت اصطکاک روی سطح خارجی اش با خودش حمل می کند. الگوی خطوط جریان در شکل ۳-۳ نشان داده شده است. سیستم مختصات ما هم دارای مبدائی منطبق با محل شکاف است و محورش در جهت محور جت است.



شکل ۳-۳: الگوی خطوط جریان برای یک جت دو بعدی آرام [۱۶]

همانند جت درهم، گرادیان فشار در جهت x را می توان حذف کرد. پس مومنتوم کلی در جهت x که در اینجا با J نشان می دهیم در جهت x ثابت بوده و مستقل از فاصله از سوراخ میباشد، در نتیجه:

¹ Schlichting & Bickly

$$J = \rho \int_{-\infty}^{\infty} u^2 dy = const \quad (36-3)$$

همانند جریان درهم، سرعت u تابعی از y/b می باشد که b عرض جت است. همچنین b متناسب با x^q است. ما می توانیم تابع جریان را به صورت زیر تعریف کنیم:

$$\psi \approx x^p f(y/b) = x^p f(y/x^q) \quad (37-3)$$

دو مجهول p و q با توجه به شرایط زیر تعیین می شوند:

۱. فلاکس مومنتوم در جهت x مستقل از x است.

۲. ترم شتاب و اصطکاک در معادله از مرتبه یکسان هستند.

با بررسی این دو شرط می توان دو معادله برای p و q به صورت زیر بدست آورد:

$$2p - q = 0 \quad (38-3)$$

$$2p - 2q - 1 = p - 3q$$

در نتیجه:

$$p = 1/3; q = 2/3 \quad (39-3)$$

نتیجتاً، می توان متغیر مستقل و تابع جریان را به صورت زیر نوشت:

$$\eta = \frac{1}{3v^{1/2}} \frac{y}{x^{2/3}}; \quad (40-3)$$

$$\psi = v^{1/2} x^{1/3} f(\eta)$$

با در نظر گرفتن فاکتورهای ثابت مناسب، مولفه های سرعت به وسیله عبارات زیر مشخص می شوند:

$$u = \frac{1}{3x^{1/3}} f'(\eta) \quad (41-3)$$

$$v = -\frac{1}{3} v^{1/3} x^{-2/3} (f - 2\eta f')$$

با جایگذاری این مقادیر در معادله دیفرانسیل و معادل صفر قرار دادن ترم فشار با صفر، معادله دیفرانسیل زیر بدست می آید:

$$f'^2 + ff'' + f''' = 0 \quad (۴۲-۳)$$

که f تابعی از η می باشد.

با شرط مرزی:

$$y = 0 \rightarrow v = 0, \frac{\partial u}{\partial y} = 0 \quad (۴۳-۳)$$

$$y = \infty \rightarrow u = 0$$

$$\Rightarrow \eta = 0 \rightarrow f = 0, f'' = 0$$

$$\Rightarrow \eta = \infty \rightarrow f' = 0$$

حل معادله ۴۲-۳ ساده است. با انتگرال گرفتن داریم:

$$ff' + f'' = 0 \quad (۴۴-۳)$$

چون در شرط مرزی در $\eta = 0$ ، f, f'' صفر می شوند پس ثابت انتگرال هم صفر می شود. معادله دیفرانسیل بالا را می توان به راحتی انتگرال گیری کرد اگر ترم اول فاکتور ۲ داشته باشد که می توان با فرض زیر به این مسئله نائل شد:

$$\xi = \alpha\eta; f = 2\alpha F(\xi) \quad (۴۵-۳)$$

که α یک ثابت آزاد است که بعداً تعیین می شود. پس معادله بالا تبدیل می شود به:

$$F'' + 2FF' = 0 \quad (۴۶-۳)$$

که علامت پریم نشانه دیفرانسیل نسبت به ξ است. شرایط مرزی برابر می شود با:

$$\xi = 0 \rightarrow F = 0; \xi = \infty \rightarrow F' = 0$$

با یکبار انتگرال گیری داریم:

$$F' + F^2 = 1 \quad (۴۷-۳)$$

که ثابت انتگرال معادل یک می شود که با توجه به شرط $F'(0) = 1$ بدست می آید. معادله ۴۷-۳ یک معادله دیفرانسیل از نوع ریکاتی است و جواب معادله برابر می شود با:

$$\xi = \int_0^F \frac{dF}{1-F} = \frac{1}{2} \operatorname{Ln} \frac{1+F}{1-F} = \tanh^{-1} F \quad (۴۸-۳)$$

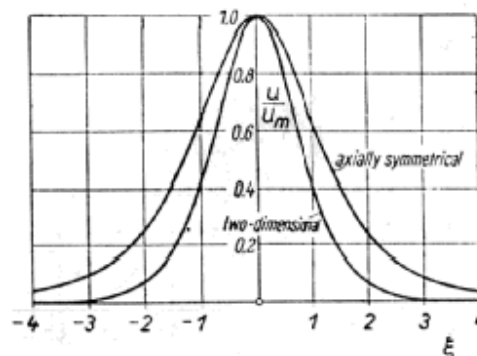
با معکوس کردن این معادله داریم:

$$F = \tanh \xi = \frac{1 - e^{-2\xi}}{1 + e^{-2\xi}}$$

از آنجا که $\frac{dF}{d\xi} = 1 - \tanh^2 \xi$ ، توزیع سرعت می تواند از معادله ۴۶-۳ بدست آید و برابر است با:

$$u = \frac{2}{3} \alpha^2 x^{-1/3} (1 - \tanh^2 \xi) \quad (۴۹-۳)$$

توزیع سرعت از معادله ۴۹-۳ در شکل ۴-۳ رسم شده است.



شکل ۴-۳: توزیع سرعت در یک جت دو بعدی و دایره ای [۱۶]

برای تعیین ثابت α با توجه به شرایط ۴۵-۳ می توان این ثابت را تعیین کرد که در آن مومنتوم در جهت x ثابت فرض شده است. داریم:

$$J = \frac{4}{3} \rho \alpha^3 v^{1/2} \int_0^{\infty} (1 - \tanh^2 \xi)^2 d\xi = \frac{16}{9} \rho \alpha^3 v^{1/2} \quad (50-3)$$

ما باید فرض کنیم که فلاکس مومنتوم J برای جت را داریم. با معرفی مومنتوم سینیتیک ($J/\rho = K$)، از معادله ۵۴ داریم:

$$\alpha = 0.8255 \left(\frac{K}{v^{1/2}} \right)^{1/3} \quad (51-3)$$

و در نتیجه برای توزیع سرعت:

$$u = 0.4543 \left(\frac{K^2}{vx} \right)^{1/3} (1 - \tanh^2 \xi) \quad (52-3)$$

$$v = 0.5503 \left(\frac{Kv}{x^2} \right)^{1/3} (2\xi(1 - \tanh^2 \xi) - \tanh \xi)$$

$$\xi = 0.2752 \left(\frac{K}{v^2} \right)^{1/3} \frac{y}{x^{2/3}}$$

سرعت پیمایش در مرز جت برابر است با:

$$v_{\infty} = -0.550 \left(\frac{Kv}{x^2} \right)^{1/3} \quad (53-3)$$

و نرخ حجم تخلیه بر واحد ارتفاع شکاف برابر است با $Q = \rho \int_{-\infty}^{\infty} u dy$ یا:

$$Q = 3.3019 (Kvx)^{1/3} \quad (54-3)$$

اندازه گیری های انجام شده به وسیله اندراده برای جت های دو بعدی آرام نشان داد که جت ها تا عدد رینولدز $Re=30$ آرام باقی می مانند که عدد رینولدز بر اساس سرعت خروجی از شکاف و عرض شکاف می باشد. [۱۶]

فصل چهارم

مقدمه ای بر شبیه سازی مستقیم

عددی

۴-۱- مقدمه:

حل جریان توربولانس، بعلت پیچیدگی ماهیت جریان و نبود امکانات کافی در گذشته چندان مورد توجه نبوده است، زیرا یک حل تحلیلی، حتی برای ساده ترین جریانهای توربولانس وجود ندارد. یک توصیف کامل از جریان توربولانس که در آن متغیرهای جریان (سرعت و فشار)، بعنوان توابعی از زمان یا مکان شناخته شوند، تنها با حل عددی معادله ناویر-استوکس ممکن می باشد. حل عددی استفاده شده در این تحقیق، شبیه سازی مستقیم عددی^۱ یا به اختصار D.N.S می باشد. هدف اصلی D.N.S حل معادلات برای جریان توربولانس بدون استفاده از هیچگونه مدل توربولانسی می باشد و برای این منظور می بایست معادلات ناویر-استوکس بدون هیچگونه ساده سازی مورد استفاده قرار گیرند.

در حال حاضر با ظهور ابر کامپیوترها می توان جریانهای توربولانس کاملاً توسعه یافته را به کمک روشهای D.N.S بطور دقیق تحلیل کنیم و خواص آنرا بدست آوریم. جهت گسسته سازی یک شبکه بندی دقیق و کامل مورد احتیاج است. بنابراین، اجرای هر برنامه D.N.S احتیاج به مدت زمان طولانی دارد. بنابراین، تا امروز محاسبات D.N.S فقط تا رینولدزهای متوسط امکان پذیر بوده است.

۴-۲- تاریخچه:

استفاده از D.N.S برای اولین بار توسط اورزاگ و پترسون^۲ در سال ۱۹۷۲ در مرکز تحقیقات اتمسفریک آمریکا صورت گرفت. این اشخاص از روش طیفی^۳ برای انجام^{۳۲۳} محاسبه جریان توربولانس ایزوتروپیک در $Re=35$ (بر اساس مقیاسهای تیلور)، استفاده کردند.

^۱ . Direct Numerical Simulation

^۲ . Orszag & Patterson

^۳ . Spectral Method

گام مهم بعدی در این زمینه توسط روگالو^۴ در سال ۱۹۸۱ برداشته شد. تحقیقات بعدی توسط اسپارلات^۵ انجام گرفت. او با استفاده از یک روش ابتکاری، جریان لایه مرزی توربولانس را بر روی یک صفحه تخت، تحت گرادیان فشارهای مختلف حل کرد.

جریانات محدود به دیواره مانند جریان تراکم پذیر در کانال و لایه مرزی توربولانس در دهه اخیر مورد توجه قرار گرفته است. به تازگی از D.N.S جهت بررسی لایه اختلاطی تورب با سرعت زیاد و عمل متقابل بین موجهای شوک و توربولانس استفاده می شود.

۴-۳- دیدگاه عددی:

جهت تحلیل جریانهای پیچیده تر به کمک D.N.S احتیاج به کامپیوترهایی با حافظه و سرعت بیشتر و همچنین استفاده از برنامه های هوشمندتر و الگوریتم های سریعتر می باشد. برای جریانهای پرریودیک از روش FFT^۶ در جهت شبیه سازی زمانی^۷ استفاده می شود، در حالیکه برای استفاده از شبیه سازی مکانی^۸ استفاده از روشهای تفاضل محدود مرتبه بالا^۹، معمول می باشد. اخیراً از روش تفاضل محدود فشرده مرتبه بالا Lele بسیاری از روشهای D.N.S، استفاده شده است. المانهای طیفی^{۱۰} و روشهای جمعی^{۱۱}، جهت گسسته سازی مکانی در هندسه خای پیچیده بکار می رود. از چند جمله ایهای چبیشف در جریانهای غیرپرریودیک، لایه مرزی و کانال استفاده می شود. در گام زمانی از روشهایی همچون رانج-کوتا^{۱۲}، کرانک-نیکلسون^{۱۳}، آدامز-بشفورده^{۱۴} و... استفاده می شود. معمولاً معادلات پواسون یا هلمهولتز (شرایط مرزی دیریشله و نیومن) در طی استفاده از D.N.S بایستی حل شوند.

4 . Rogallo
 5 . Spalart
 6 . Fast Fourier Transformation
 7 . Temporal
 8 . Spatial
 9 . High Order Finite Difference
 10 . Spectral Elements
 11 . Collocation Method
 12 . Runge_Kutta
 13 . Crank_Nicolson
 14 . Adams_Bashford

۴-۴- شرایط مرزی^{۱۵}:

در D.N.S، انتخاب شرایط مرزی یک انتخاب مهم و حساس می باشد. انتخاب شرایط مرزی در مرزهای آزاد یک برآورد مشکل می باشد. برای جریانات تراکم ناپذیر که در جهات آماری هموژن می باشند، مانند جهت عرضی لایه مرزی دو بعدی، معمولاً شرایط مرزی پریودیک اعمال می شوند. اما بسیاری از جریانات پیچیده توسعه یافته، در جهت جریان غیر هموژن بوده، که بنابراین احتیاج به انتخاب شرایط مرزی مناسب دارند. همچنین تراکم پذیر بودن جریان، واکنش پذیری سیال و تولید حرارت در سیال منجر به اعمال شرایط مرزی اضافی می شوند.

¹⁵ . Boundary Condition

فصل پنجم

آنالیز ریاضی

۵-۱- مقدمه

مقصود در این پروژه، تنظیم برنامه ای کامپیوتری برای حل عددی معادلات ناویراستوکس و معادله انرژی دو بعدی برای تحلیل جریان و انتقال حرارت یک جت صفحه‌ای غیر قابل تراکم می‌باشد.

البته این برنامه کامپیوتری برای هر جریان برش آزادی قابلیت استفاده دارد.

نکته قابل ملاحظه در پروژه این است که سیال مورد مطالعه سوسپانسیونی است با ذرات جامد در ابعاد نانو متر که در اصطلاح آنرا نانوسیال گویند.

دامنه محاسباتی جریان جت صفحه ای مطابق شکل ۵-۱ در جهت اصلی جریان x محدود به طول دامنه فیزیکی جریان می‌باشد و در جهت عمود به جریان y از هر دو طرف نامحدود^۱ در نظر گرفته می‌شود تا مرز محیط مادی در آن احساس نشود. در جهات x و y از طرح اختلاف محدود فشرده^۲ استفاده شده است. در جهت عمود به جریان y از روش "فشرده سازی"^۳ جهت متناظر نمودن دامنه فیزیکی به دامنه محاسباتی به طول واحد استفاده شده است [۱۱].

^۱ Double-Infinity

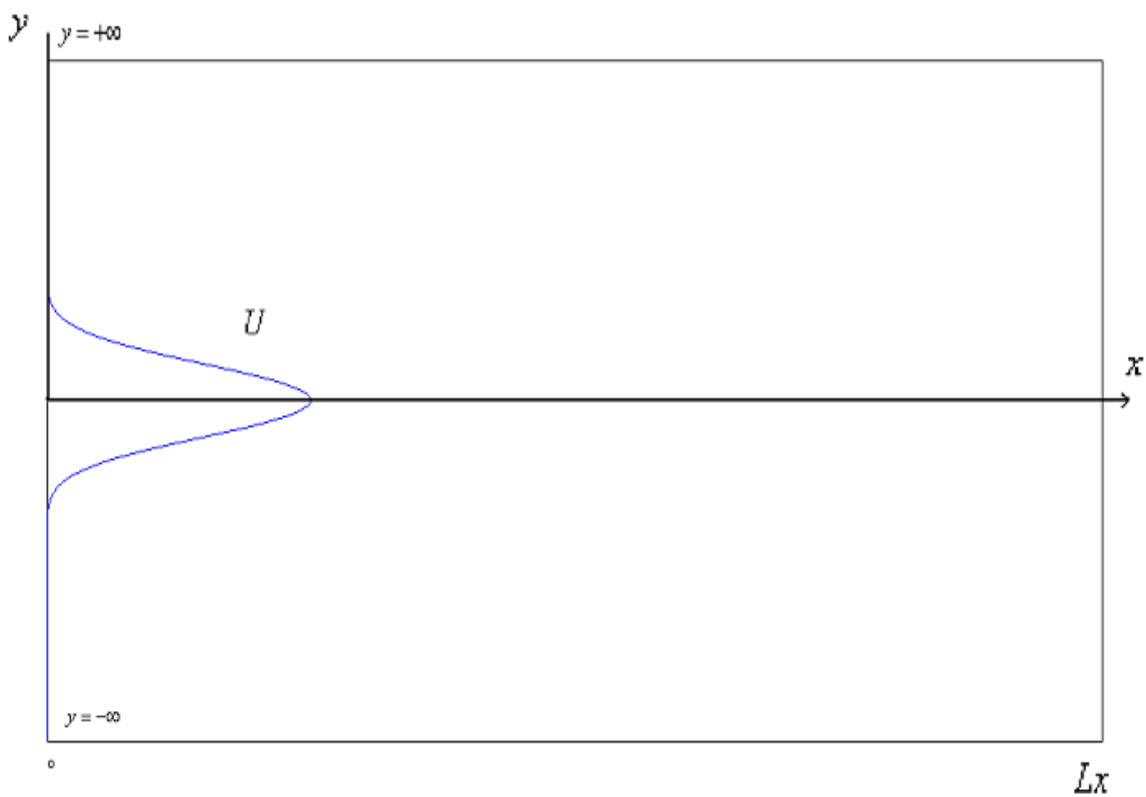
^۲ Compact Finite Difference Scheme

^۳ Mapping

۵-۲- معادلات حاکم

نمای شماتیک یک جت دوبعدی در شکل ۵-۱ مشاهده میشود.

برای تحلیل جریان و انتقال حرارت، معادلات ناویر استوکس و انرژی را به صورت عددی حل می‌کنیم.



شکل ۵-۱: شماتیکی از دامنه فیزیکی مسئله

۵-۲-۱- معادله ناویراستوکس

پروفیل سرعت جت ورودی با یک جریان اولیه^۴ $U_0(y)$ مشخص شده است. جریان جت اجازه پیدا می‌کند که در جهت x توسعه یابد. در جهت y مجموعه از هر دو طرف نامحدود است. با توجه به قانون دوم نیوتن، معادلات مومنتوم برای یک ذره سیال نیوتنی معرفی می‌شود. این معادلات به معادلات ناویراستوکس معروفند.

فرم کلی معادله ناویر استوکس برای جریان نیوتنی تراکم ناپذیر با خواص ثابت بصورت زیر است:

$$\rho_{nf} \left(\frac{D\vec{U}}{Dt} \right) = -\nabla p + \mu_{nf} (\nabla^2 \vec{U}) \quad (1-5)$$

در این پروژه فرم بی بعد شده معادله ناویر استوکس حل می‌شود، برای بی بعدسازی معادلات بایستی همه کمیت‌ها به وسیله مشخصه طول و مشخصه سرعت بی بعد شوند که در این ارتباط نیم عرض جت^۵ ورودی $b_{1/2}$ و سرعت ورودی U_{in} به عنوان مقیاس‌های بی بعد کننده مورد استفاده قرار می‌گیرند. برای ترم فشار نیز ρU_{in}^2 به عنوان مقیاس‌های بی بعد کننده مورد استفاده قرار می‌گیرد روش بی بعد کردن معادله ناویر استوکس در پیوست الف ارائه شده است. فرم بی بعد معادله ناویراستوکس به صورت زیر می‌باشد:

$$\frac{\partial \vec{U}}{\partial t} + (\vec{U} \cdot \nabla) \vec{U} = -\nabla p + \frac{1}{Re} (\nabla^2 \vec{U}) \quad (2-5)$$

یکی از مشکلات اصلی در حل معادله ناویر استوکس، نبود اطلاعات در مورد فشار در مرزها می‌باشد؛ برای رفع این مشکل بایستی از شبکه بندی بسیار ریز و متراکم برای گسسته سازی استفاده کنیم (که منجر به ارزیابی متغیرهای مختلف در نقاط مختلف شبکه می‌شود). و یا اینکه جمله فشار را از معادله ناویر استوکس حذف کنیم.

⁴Initial Flow⁵ Half Width Jet

با استفاده از روابط ریاضی شرح داده شده در پیوست ب جمله فشار از معادله ناویر استوکس

حذف شده و به شکل چرخشی^۶ معادله ناویر استوکس می‌رسیم:

$$\frac{\partial \nabla^2 \vec{U}}{\partial t} = -\nabla \times (\nabla \times \vec{H}) + \frac{1}{\text{Re}} \nabla^4 \vec{U} \quad (3-5)$$

در نتیجه معادلات ۳-۵ و ۴-۵ معادلات بی بعد شده با مقیاس مشخصه طول و سرعت می‌باشند. [۱۰]

$$\nabla \cdot U = 0 \quad (4-5)$$

که $\vec{H} = (H_1, H_2, H_3) = \vec{U} \times \vec{\omega}$ ترم‌های غیرخطی^۷ هستند. باید توجه داشت که برای حالت

$$\text{دو بعدی } \omega_1 = \omega_2 = H_3 = 0 \text{ و } H_2 = -U\omega_3 \text{ و } H_1 = V\omega_3$$

عمده مزیت استفاده از این فرم معادلات ناویر استوکس، کاهش تعداد متغیرهای مستقل، کاهش فضای دیسک مورد نیاز می‌باشند. در عین حال در قبال این دو مزیت تغییر درجه معادله دیفرانسیل حاکم از دو به چهار را نیز تجربه می‌کنیم.

سرعت لحظه ای $\vec{U} = (U, V)$ به دو قسمت جریان اولیه $(\vec{U}_0(y), 0)$ و سرعت محاسباتی $(u(x, y, t), v(x, y, t))$ به گونه ای که در معادلات ۵-۵ و ۶-۵ نشان داده شده اند، تجزیه می‌گردند.

$$U(x, y, t) = u(x, y, t) + U_0(y) \quad (5-5)$$

$$V(x, y, t) = v(x, y, t) \quad (6-5)$$

با منظور نمودن اولین مولفه معادله ناویر استوکس در جهت اصلی جریان (x) از معادله ۳-۵ و با توجه به معادله ۴-۵، معادله زیر بدست می‌آید.

$$\frac{\partial}{\partial t} \nabla^2 u = \frac{\partial^2 H_1}{\partial y^2} + \frac{\partial^2 H_1}{\partial z^2} - \frac{\partial^2 H_2}{\partial x \partial y} - \frac{\partial^2 H_3}{\partial x \partial z} + \frac{1}{\text{Re}} \nabla^4 U \quad (7-5)$$

⁶ Rotational form

⁷ Non Linear Term

که برای حالت دو بعدی معادله تبدیل به معادله ۵-۸ می شود.

$$\frac{\partial}{\partial t} \nabla^2 u = \frac{\partial^2 H_1}{\partial y^2} - \frac{\partial^2 H_2}{\partial x \partial y} + \frac{1}{\text{Re}} \nabla^4 U \quad (۸-۵)$$

این معادله برای پیشرفت زمانی^۸ در شبیه سازی مورد استفاده قرار می گیرد.

دومین مولفه سرعت در جهت y هم به کمک معادله پیوستگی به راحتی بدست می آید.

$$\frac{\partial v}{\partial y} = -\frac{\partial u}{\partial x} \quad (۹-۵)$$

۵-۲-۲- معادله انرژی

فرم کلی معادله انرژی با در نظر گرفتن تلفات ناچیز حرارتی به صورت زیر است:

$$\frac{D((\rho c_p)_{nf} T)}{Dt} = K_{nf} \nabla^2 T \quad (۱۰-۵)$$

با توجه به ثابت بودن خواص ترمودینامیکی معادله زیر از معادله (۱۰-۵) بدست می آید

$$(\rho c_p)_{nf} \left(\frac{\partial T}{\partial t} + U \frac{\partial T}{\partial x} + V \frac{\partial T}{\partial y} \right) = K_{nf} \left(\frac{\partial^2 T}{\partial x^2} + \frac{\partial^2 T}{\partial y^2} \right) \quad (۱۱-۵)$$

برای تحلیل انتقال حرارت، فرم بی بعد شده معادله انرژی مورد استفاده قرار می گیرد؛ مقیاسهای

بی بعدکننده همانهایی است که برای بی بعد کردن معادله ناویر استوکس از آنها بهره جسته ایم.

برای بی بعد کردن دما، دمای ورودی T_{in} مقیاس بی بعدکننده دماست.

روش بی بعد کردن معادله انرژی در پیوست ج ارائه شده است.

معادله زیر فرم بی بعد شده معادله انرژی است:

$$\frac{\partial T}{\partial t} + \bar{U} \cdot (\nabla T) = \frac{1}{Pe} (\nabla^2 T) \quad (۱۲-۵)$$

⁸ Time advancement

دمای لحظه ای T به دو قسمت دمای اولیه $T_0(y)$ و دمای محاسباتی $T1(x, y, t)$ به گونه ای که در معادله ۵-۱۳ نشان داده شده است، تجزیه میگردد.

$$T(x, y, t) = T1(x, y, t) + T_0(y) \quad (۵-۱۳)$$

۵-۳- شرایط مرزی

۵-۳-۱- شرایط مرزی برای حل معادله ناویر استوکس

به دلیل اینکه معادلات ناویر استوکس و پیوستگی برای متغیرهای محاسباتی حل می شوند شرایط مرزی بر روی متغیرهای محاسباتی اعمال می شوند. معادله ۵-۸ یک معادله دیفرانسیل درجه چهار می باشد، در نتیجه نیاز به اعمال چهار شرط مرزی داریم. مقادیر u در مرز ورودی^۹ و مرز خروجی^{۱۰} مجموعه محاسباتی بایستی مشخص شوند. همچنین با توجه به معادله پیوستگی، $\frac{\partial u}{\partial x}$ هم در مرزهای ورودی و خروجی مجموعه محاسباتی معلوم می شوند. این شرایط مرزی به شرایط دریچلت^{۱۱} و نیومن^{۱۲} معروف می باشند.

در شبیه سازی، مولفه سرعت لحظه ای در جهت جریان اصلی در ورودی می تواند به صورت یک پروفیل سرعت گوسی به صورت e^{-y^2} مطابق نتایج آزمایشی زیگنن و آلبرتسون [۶] باشد و یا پروفیلی هیپربولیکی به صورت $\frac{1}{\cosh^2 y}$ مطابق نتایج تحلیلی شلیختینگ باشد [۱۶] که به همراه آن مقداری اغتشاشات به صورت نتایج عددی سلمانی [۲] منتج از حل عددی معادله

⁹ Inflow Boundary Condition

¹⁰ Outflow Boundary Condition

¹¹ Dirichlit Boundary Condition

¹² Neumann Boundary Condition

اورساملفیلد^{۱۳} و بررسی پایداری جریان جت دوبعدی به دست آمده است. یکی از دلایل استفاده از پروفیل هیپربولیکی در ورودی، به علت نتایج سلمانی^{۱۴} طبق این پروفیل می باشد. اغتشاشات به صورت زیر می باشند:

$$\vec{v}_{forcing} = A_{2D} (\vec{V}_r \cos \omega t + \vec{V}_i \sin \omega t) \quad (14-5)$$

V_i و V_r مقادیر اغتشاشات حقیقی و موهومی بدست آمده از تحلیل پایداری می باشند. پارامتر $\omega = \alpha C_{exit}$ می باشد که C_{exit} سرعت درخروجی است که از تحلیل پایداری می تواند نتیجه شود. [۹]

در مرز خروجی هم از یک شرط مرزی جابجایی^{۱۵} استفاده شده است. در مرز خروجی نباید هیچگونه برگشت جریان و یا وجود تاثیرات خروجی به داخل شبکه محاسباتی باشیم. در این مرز از معادله جابجایی برای تولید شرط مرزی دریچلت برای هر دو مولفه سرعت استفاده می کنیم که معادله آن به صورت زیر می باشد:

$$\frac{\partial \psi}{\partial t} = -c \frac{\partial \psi}{\partial x} \quad (15-5)$$

در این معادله، مولفه های سرعت u و v جایگزین ψ می گردند. ضریب c برابر با سرعت کلی انتقال موج و یا سرعت متوسط جریان در جهت اصلی در مرز خروجی است. مقدار c بین صفر و یک می باشد. البته مقدار دقیق این پارامتر مشخص نیست و باید با تخمین مناسبی در مجموعه محاسباتی تعیین شود [۹]. سرعت ساختار بزرگ جریان برای معرفی c مناسب می باشد. استفاده از سرعت انتقال موج که از تحلیل پایداری خطی بدست می آید نیز جهت تعیین c مناسب می باشد [۲].

¹³ Orr Summerfield

¹⁴ سلمانی با کمک این پروفیل معادله پایداری را حل کرده است.

¹⁵ Convective Outflow Boundary Condition

۵-۳-۲- شرایط مرزی برای حل معادله انرژی

با توجه به اینکه معادله انرژی یک معادله دیفرانسیل درجه ۲ است نیاز به اعمال دو شرط مرزی داریم.

برای T در ورودی و خروجی، دو شرط درישلت قرار می دهیم.

برای T ورودی همان تابع سرعت در ورودی را قرار می دهیم و برای T درمرز خروجی نیاز به

حل معادله (۵-۱۵) داریم در این معادله، مولفه دما T جایگزین ψ می گردد.

۵-۴- شرط اولیه

شرط اولیه برای شبیه سازی جت دو بعدی همراه با اغتشاشات، نتیجه بدست آمده از جت دو بعدی در حالت پایدار زمانی می باشد که در آن شرط مرزی ورودی برابر با جریان اولیه می باشد و هیچگونه اغتشاش نداریم.

در حالت پایدار زمانی یک پروفیل با توزیع هیپربولیکی برای تمام مقاطع مختلف x به عنوان شرط اولیه برای جریان وانتقال حرارت جت انتخاب کرده ایم.

در جت پایدار زمانی در گره های مختلف بعد از گذشت زمانی، مقدار سرعت و دما در آن دیگر تغییر نمی کند و مستقل از زمان و پایدار می گردد.

فصل ششم

روش های عددی

۶-۱- مقدمه

همانطور که قبلا اشاره شد برای حل معادلات ناویر استوکس از روش عددی اختلاف محدود فشرده در دو جهت x و y استفاده می شود. در این فصل توضیحاتی به تفصیل در مورد این روش ارائه می شود.

۶-۱-۱- الگوریتم کاری برای حل معادله ناویر استوکس

الگوریتم کاری برای حل معادله ناویر استوکس با توجه به ۴ شرط مرزی و یک شرط اولیه در زیر توضیح داده شده است:

۱. با توجه به شرط اولیه مشخص برای u ، مقدار v محاسبه می شود.
۲. با توجه به اینکه $\omega = \nabla \times U$ است و برای حالت دو بعدی $\omega_1 = 0$ و $\omega_2 = 0$ است، مقدار $\omega_3 = \omega = \frac{\partial v}{\partial x} - \frac{\partial u}{\partial y}$ حساب می شود.
۳. مقدار $H = U \times \omega$ می باشد که برای حالت دو بعدی $H_3 = 0$ است مقادیر $H_1 = v \cdot \omega$ و $H_2 = -u \cdot \omega$ محاسبه می شود.
۴. محاسبه ترم های غیر خطی در معادله که به صورت $\frac{\partial^2 H_1}{\partial y^2} - \frac{\partial^2 H_2}{\partial x \partial y}$ است.
۵. محاسبه ترم های لزجتی در معادله که به صورت $\frac{1}{\text{Re}} \nabla^4 U$ است.
۶. بعد از محاسبه طرف راست معادله، با توجه به روش رانج کوتای مرتبه سوم مقدار $\nabla^2 u$ محاسبه می شود.
۷. با مشخص شدن $\nabla^2 u$ ، مقدار u از آن استخراج می شود.
۸. تمام مراحل ذکر شده در بالا برای یک گام زمانی است که از u تولید شده در مرحله قبل به عنوان شرط اولیه استفاده می شود.

برای حل معادله ۳-۵ و طبق الگوریتم بالا، ما باید قادر به انجام اعمال زیر باشیم:

- ۱- محاسبه مشتقات مادی
- ۲- انتگرال گیری از معادله پیوستگی به منظور بدست آوردن v از معادله ۴-۵.
- ۳- محاسبه ترم های غیر خطی
- ۴- حل معادله پواسون [۳] برای حالت دو بعدی
- ۵- پیشرفت زمانی (بدست آوردن داده های جدید که در اصل آنها به صورت شرط اولیه برای زمان بعدی مورد استفاده قرار خواهد گرفت).

۶-۱-۲- الگوریتم کاری برای حل معادله انرژی

الگوریتم کاری برای حل معادله انرژی با توجه به ۲ شرط مرزی و یک شرط اولیه در زیر توضیح داده شده است:

۱. محاسبه ترمهای نفوذ که به صورت $\frac{1}{Pe} \nabla^2 U$ است.
۲. محاسبه ترمهای غیرخطی در معادله که به صورت $(U \frac{\partial T}{\partial x} + V \frac{\partial T}{\partial y})$ است.
۳. بعد از محاسبه طرف راست معادله، با توجه به روش رانج کوتای مرتبه سوم مقدار $T1$ محاسبه می شود.
۴. تمام مراحل ذکر شده در بالا برای یک گام زمانی است که از $T1$ تولید شده در مرحله قبل به عنوان شرط اولیه استفاده می شود.

۶-۲- محاسبه مشتقات مادی

مشتقات مادی با بکار بردن طرح اختلاف محدوده فشرده استاندارد ارائه شده توسط لیلی [۸] محاسبه شده است. لیلی^۱ مشتق اول تابع $f(x)$ را به طور ضمنی^۲ مطابق معادله ۶-۱ بیان کرده است.

$$\alpha f'_{j-1} + f'_j + \alpha f'_{j+1} = \quad (۱-۶)$$

$$\frac{\alpha + 2}{3h}(f_{j+1} - f_{j-1}) + \frac{4\alpha - 1}{12h}(f_{j+2} - f_{j-2})$$

که علامت پریم نمایانگر مشتق اول، j بیان کننده تعداد گره $(1 \leq j \leq J)$ و $\Delta x = Lx/Nx$ است که $Nx = J - 1$ است.

اگر در معادله ۶-۱، $\alpha = 1/4$ یا $\alpha = 1/3$ قرار داده شود به طرحهایی با مرتبه خطای چهارم و ششم می رسیم. برای جلوگیری از ناهنجار بودن ماتریس طرف چپ معادله فوق، طرفین آن را در $1/\alpha$ ضرب می کنیم.

نتیجه به صورت زیر می شود:

$$f'_{j-1} + \frac{1}{\alpha} f'_j + f'_{j+1} = \quad (۲-۶)$$

$$\frac{1 + 2/\alpha}{3h}(f_{j+1} - f_{j-1}) + \frac{4 - 1/\alpha}{12h}(f_{j+2} - f_{j-2})$$

در مرزها یعنی جایی که $j = 1$ یا $j = J$ است یک طرح مرتبه سوم یک طرفه ضمنی استفاده شده است.

$$f'_1 + 2f'_2 = \frac{1}{2h}(-5f_1 + 4f_2 + f_3) \quad (۳-۶)$$

$$f'_j + 2f'_{j-1} = \frac{1}{2h}(5f_j - 4f_{j-1} - f_{j-2}) \quad (۴-۶)$$

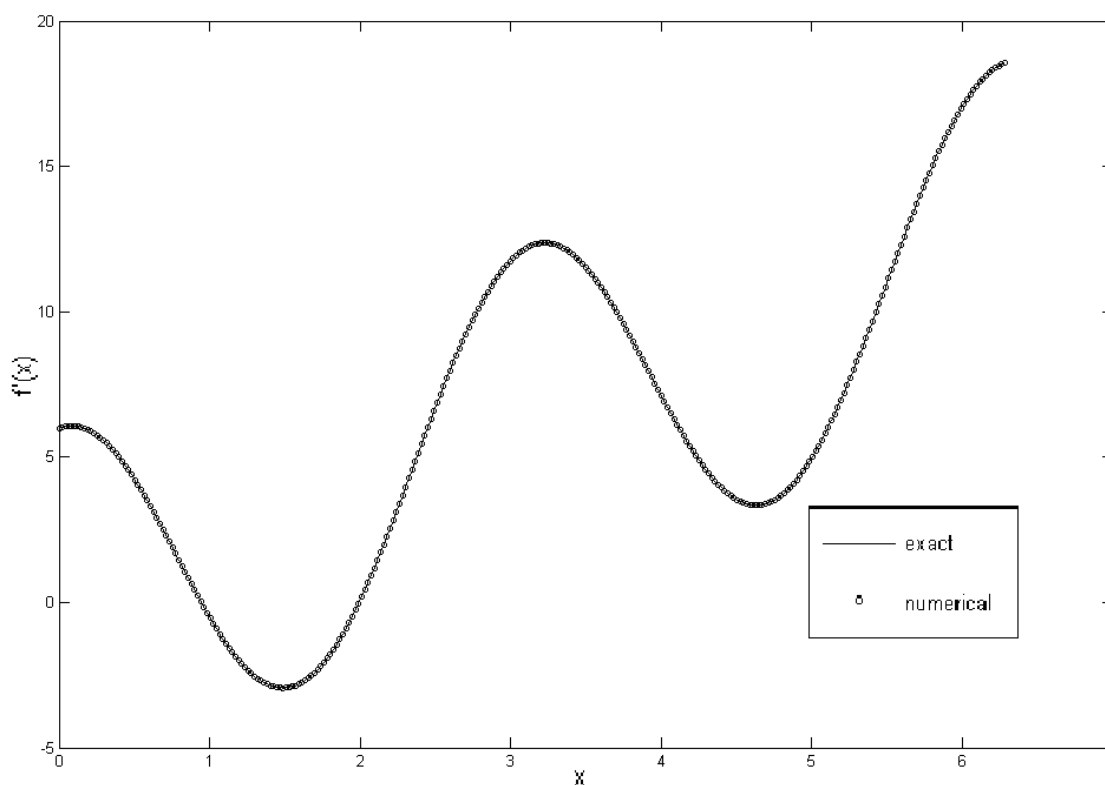
¹ S.K.Lele

² Implicitly

در همسایگی مرزها یعنی جایی که $z=2$ یا $z=J-1$ است از معادله ۲-۶ در حالی که $\alpha = 1/4$ است استفاده می شود.

همانطور که توسط لیلی بحث شده است با قرار دادن $\alpha' = (16\alpha + 32)/(40\alpha - 1)$ به جای α در معادله ۲-۶ برای گره های $z=3$ و $z=J-2$ می توان پایداری و بقای عددی معادله $\frac{\partial u}{\partial t} = \frac{\partial}{\partial x} f(u)$ را تضمین کرد. در شکل ۱-۶ می توانید میزان دقت آن را برای تابعی به فرم $y = 3\sin(2x) + x^2$ ملاحظه کنید.

انتظار داریم که طرحی با مرتبه خطای سوم در مرز و مرتبه خطای ششم در گره های مرکزی داشته باشیم. شکل ۲-۶ مرتبه دقت را نشان می دهد.



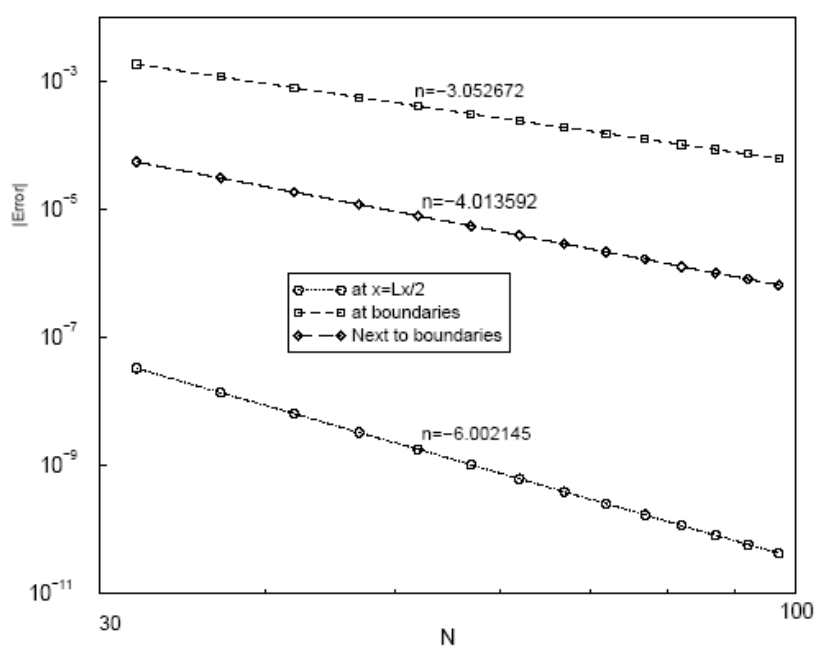
شکل ۱-۶: تقریب مشتق اول تابع $y = 3\sin(2x) + x^2$

معادله ۵-۶ مشتق دوم تابع $f(x)$ را نشان می دهد که یک طرح اختلاف محدود فشرده و با دقت مرتبه چهارم است.

$$\alpha f''_{j-1} + f''_j + \alpha f''_{j+1} = \quad (5-6)$$

$$\frac{4(1-\alpha)}{3h^2}(f_{j+1} - 2f_j + f_{j-1}) + \frac{10\alpha - 1}{12h^2}(f_{j+2} - 2f_j + f_{j-2})$$

که در آن $\alpha = 1/4$ است. در اینجا مسئله ناهنجاری هم مورد توجه قرار گرفته است و معادله در $1/\alpha$ ضرب شده است.



شکل ۶-۲: مرتبه دقت برای مشتق اول با بکار بردن طرح اختلاف محدود استاندارد [۱۰]

در مرزها از یک طرف مرتبه سوم یک طرفه ضمنی استفاده شده است.

$$f''_1 + 11f''_2 = \frac{1}{h^2}(13f_1 - 27f_2 + 15f_3 - f_4) \quad (6-6)$$

$$f''_J + 11f''_{J-1} = \frac{1}{h^2}(13f_J - 27f_{J-1} + 15f_{J-2} - f_{J-3}) \quad (7-6)$$

با مشتق گیری از معادله ۳-۶ معادله ۸-۶ تولید می شود.

$$f_1'' + 2f_2'' = \frac{1}{2h}(-5f_1' + 4f_2' + f_3') = \quad (۸-۶)$$

$$\frac{-3}{h}f_1' + \frac{1}{2h}(f_1' + 4f_2' + f_3')$$

اگر ترم طرف راست معادله ۸-۶ را با معادله ۱-۶ در حالتی که $\alpha = 1/4$ جایگزین کنیم داریم:

$$f_1'' + 2f_2'' = \frac{-3}{h}\left(\frac{df}{dx}\right)_{x=0} - \frac{3}{2h^2}(f_1 - f_3) \quad (۹-۶)$$

روش مشابهی می توان برای گره J به کار برد.

$$f_J'' + 2f_{J-1}'' = \frac{3}{h}\left(\frac{df}{dx}\right)_{x=Lx} - \frac{3}{2h^2}(f_J - f_{J-2}) \quad (۱۰-۶)$$

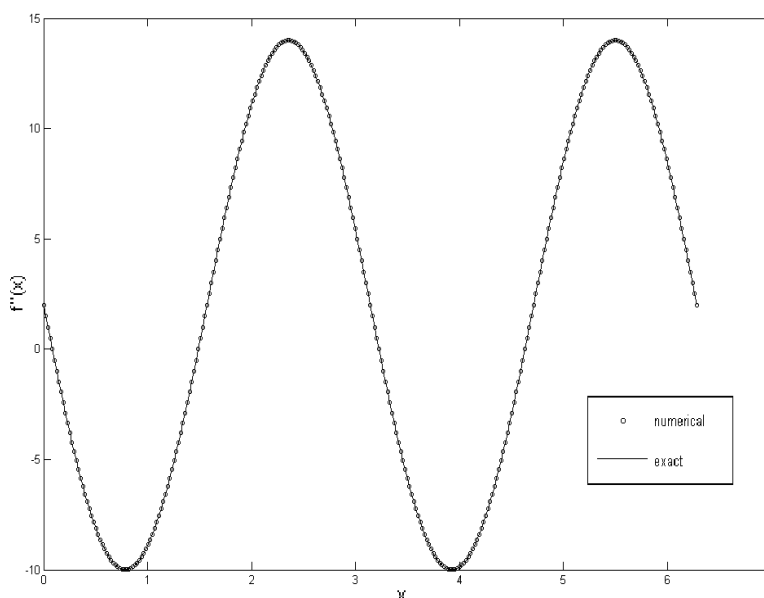
نزدیک مرزها یعنی جاییکه $j=2$ و $j=J-1$ است از طرح اختلاف محدوده فشرده

مرتبه دوم استفاده شده است که با جایگزینی $\alpha = 1/10$ در معادله ۵-۶ بدست می آید.

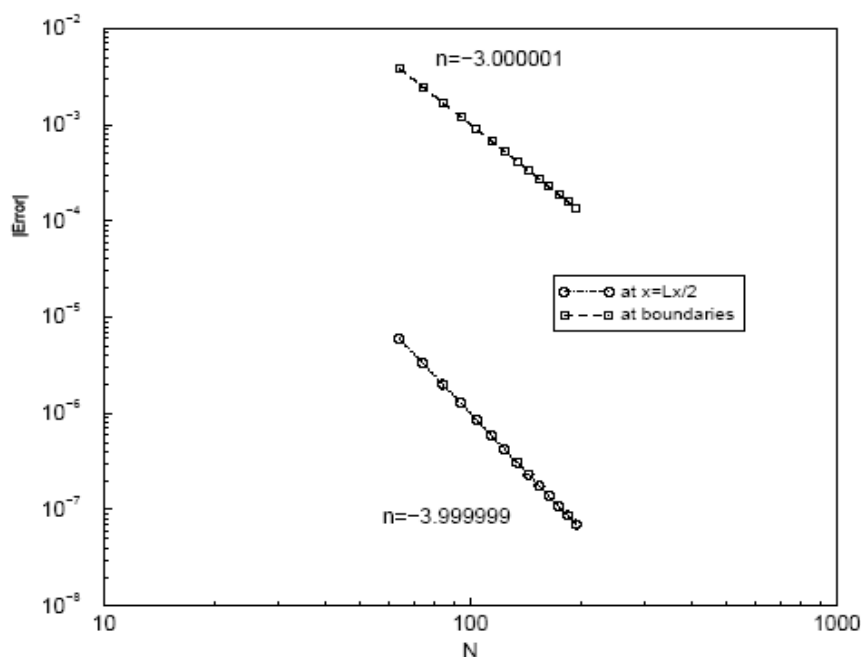
در شکل ۳-۶ مقایسه بین نتایج عددی مشتق دوم و مقدار حقیقی تابع

$y = 3\sin(2x) + x^2$ را می توانید ملاحظه کنید. میزان خطا نیز در شکل ۴-۶ برای گره های مرزی

و گره های داخلی ترسیم شده است.



شکل ۳-۶: تقریب مشتق دوم تابع $y = 3\sin(2x) + x^2$.



شکل ۶-۴: مرتبه دقت برای مشتق دوم با بکار بردن طرح اختلاف محدود استاندارد [۱۰]

برای محاسبه مشتقات چهارم هم می‌توان اپراتور مشتق دوم را دوبار اعمال کرد که در طرف راست معادله ناویر استوکس و در قسمت ترم های لزجتی وجود دارد.

۶-۳- روش محدود کردن دامنه y

جریان جت جریانی آزاد و دور از مرزهای صلب می‌باشد و در نتیجه در جهت y نباید هیچگونه محدودیت مادی داشته باشیم. یعنی $-\infty \leq y \leq \infty$ می‌باشد. برای گنجاندن y در یک دامنه محاسباتی از یک تابع یک به یک مثلثاتی استفاده می‌کنیم که مختصات فیزیکی y تبدیل به مختصات محاسباتی $0 \leq \xi \leq 1$ می‌شود. فواصل گره‌ها در مجموعه محدود شده یک اندازه و یکنواخت می‌باشند ولی در مجموعه فیزیکی این فواصل متساوی نیستند و در ناحیه ای بیشتر متمرکزند. رابطه مورد استفاده بین مکان گره‌های موجود در مجموعه محاسباتی و مجموعه فیزیکی به وسیله معادله ۶-۱۱ بیان شده است. [۱۱]

$$y = -\beta \cot(\pi\zeta) \quad (۱۱-۶)$$

که β پارامتر مربوط به کنترل میزان کشیدگی و انقباض است. برای مشتق گیری تابع f نسبت به y به صورت زیر عمل می کنیم:

$$\frac{df}{dy} = \frac{df}{d\zeta} \times \frac{d\zeta}{dy} = \frac{1}{\pi\beta} \sin^2(\pi\zeta) \frac{df}{d\zeta} \quad (۱۲-۶)$$

با برابر قرار دادن $\lambda_1 = \frac{1}{\pi\beta} \sin^2(\pi\zeta)$ داریم:

$$\frac{df}{dy} = \lambda_1 \frac{df}{d\zeta} \quad (۱۳-۶)$$

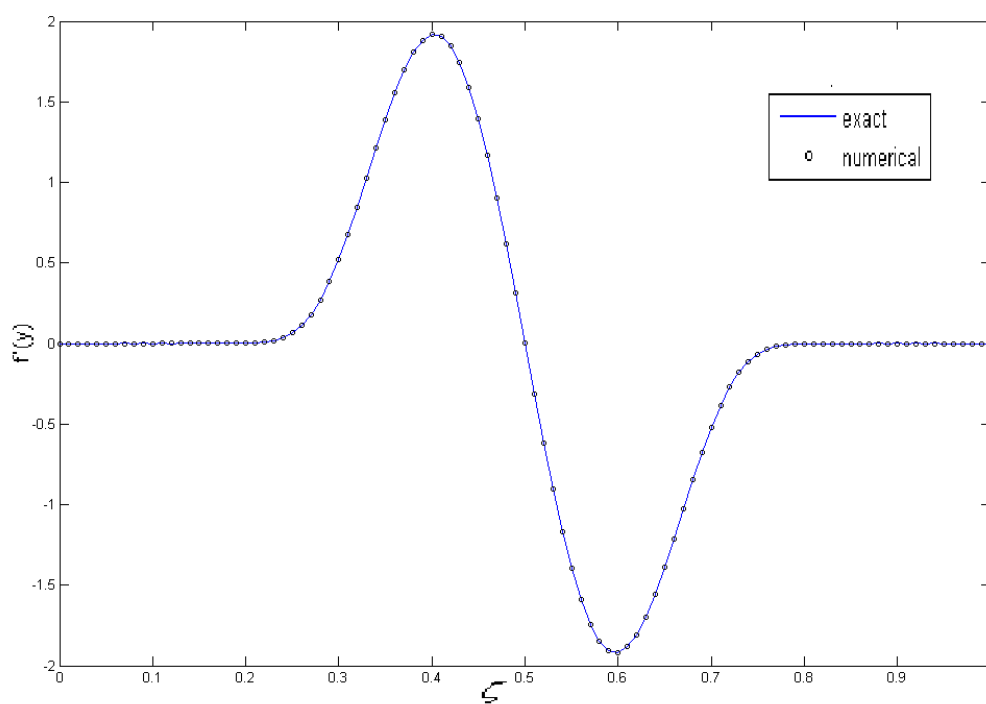
برای محاسبه مشتق دوم نیز به صورتی مشابه عمل می کنیم:

$$\frac{d^2f}{dy^2} = \lambda_2 \frac{d^2f}{d\zeta^2} + \lambda_3 \frac{df}{d\zeta} \quad (۱۴-۶)$$

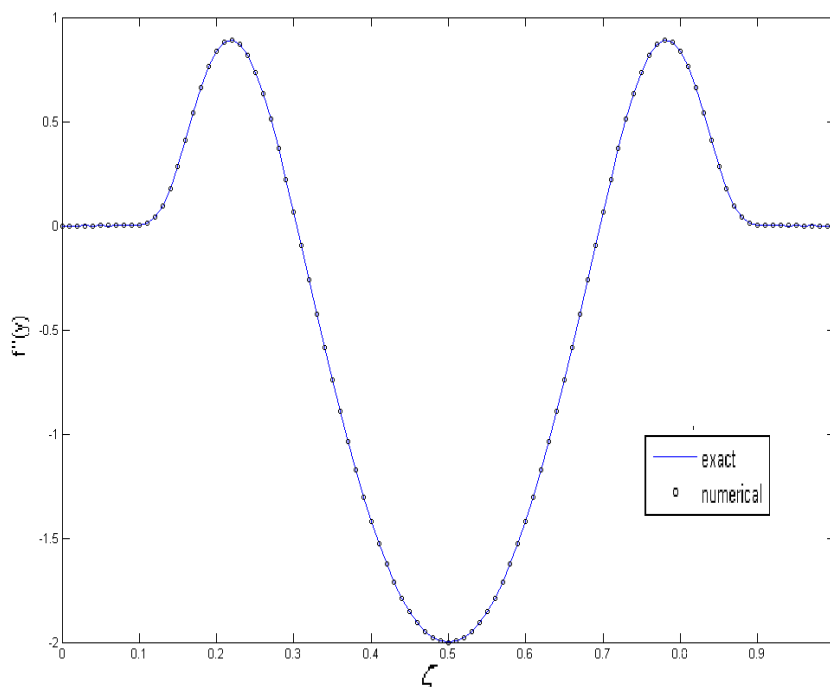
$$\lambda_2 = \lambda_1^2 \quad (۱۴-۶)$$

$$\lambda_3 = \frac{-4}{\pi\beta^2} \sin^3(\pi\zeta) \cos(\pi\zeta) \quad (۱۵-۶)$$

در شکل های ۶-۵ و ۶-۶ می توان نتیجه این روش مشتق گیری را با توجه به محدود کردن موجود و $\beta = 1$ و $N_y = 100$ ملاحظه نمایید.



شکل ۵-۶: تقریب مشتق اول تابع $f(y) = e^{-\gamma y^2}$ با توجه به فشرده سازی در جهت y با $\gamma = 5, \beta = 1$.



شکل ۶-۶: تقریب مشتق دوم تابع $f(y) = e^{-\gamma y^2}$ با توجه به فشرده سازی در جهت y با $\gamma = \beta = 1$.

۶-۴- انتگرال گیری

با حل معادله ۳-۵ می توان $u(x, y, t)$ را بدست آورد. برای محاسبه سرعت در جهت

عرضی v از معادله پیوستگی بهره می گیریم. طبق معادله پیوستگی داریم:

$$\frac{\partial v}{\partial y} + \frac{\partial u}{\partial x} = 0 \quad (۱۶-۶)$$

$$\frac{\partial v}{\partial y} = -\frac{\partial u}{\partial x} \quad (۱۷-۶)$$

چنانچه از طرح اختلاف محدود فشرده استفاده کنیم که ماتریس سمت راست معادله ۲-۶ دارای

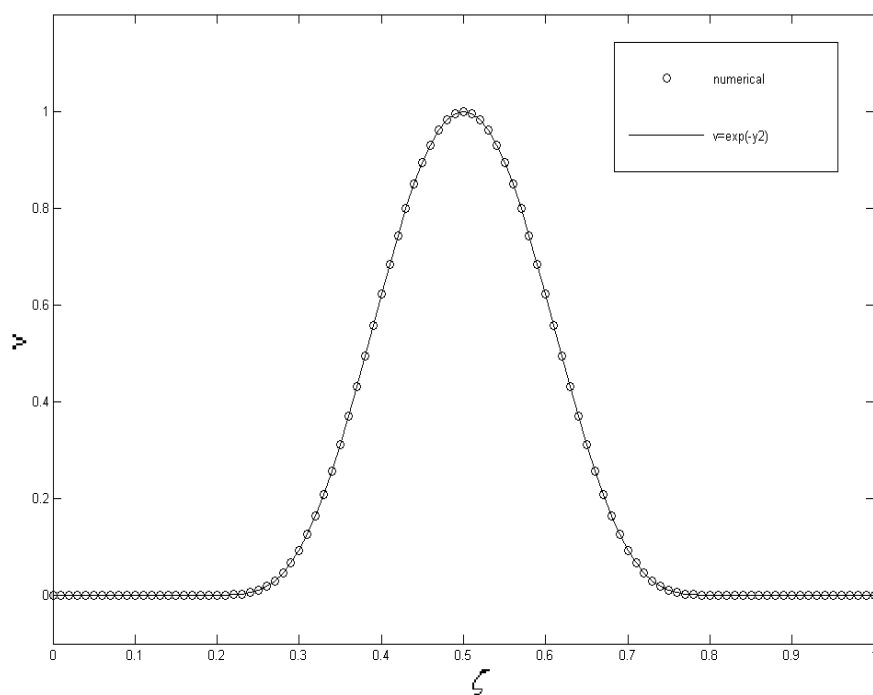
عناصر صفر بر روی قطر اصلی است و با این وضع نمی توان به انتگرال گیری پرداخت. جهت غلبه

بر این مشکل با مشتق گیری از دو طرف معادله بر حسب y معادله ۱۸-۶ بدست می آید.

$$\frac{\partial^2 v}{\partial y^2} = -\frac{\partial^2 u}{\partial x \partial y} \quad (۱۸-۶)$$

با وجود دو شرط مرزی برای v به صورت $v = 0 \rightarrow y = \pm\infty$ این معادله حل می شود.

نتایج مربوط به انتگرال گیری در شکل ۶-۷ آمده است.



شکل ۶-۷: تقریب انتگرال تابع $f'(y) = -2ye^{-y^2}$ با شرایط مرزی $f(y(0)) = f(y(1)) = 0$ که به صورت $f(y) = e^{-y^2}$ می باشد.

۶-۵- پیشروی در زمان:

طرح اختلاف زمانی رانج کوتای مرتبه سوم فشرده به وسیله رای^۱ [۲۲] بیان شده است که برای پیشرفت زمانی به کار برده می شود. برای پیشروی زمانی معادله ای به صورت معادله ۶-۱۹، مطابق با جدول ۶-۱ می توان فرایند را انجام داد.

جدول ۶-۱: طرح پیشروی زمانی رانج کوتای مرتبه سوم.

زمان	اولین موقعیت	دومین موقعیت
t^n	u^n	$R(u^n)$
$t' = t^n + c_1 \Delta t$	$u' = u^n + c_1 \Delta t R$	$R' = R(u')$
$t'' = t' + (c_2 + d_2) \Delta t$	$u'' = u' + (c_2 R' + d_2 R) \Delta t$	$R'' = R(u'')$
$t^{n+1} = t^n + \Delta t$	$u^{n+1} = u'' + (c_3 R'' + d_3 R') \Delta t$	

$$\frac{\partial u}{\partial t} = R(u) \quad (۶-۱۹)$$

برای پیشروی زمانی معادله مدل فوق به اندازه Δt ، طرف راست معادله باید در سه مرحله زمانی محاسبه گردد. در هر یک از این مراحل زمانی، زمان به اندازه $(c_i + d_i) \Delta t$ جلو می رود و u به وسیله یک ترکیب خطی از R در مرحله زمانی حال و R در مرحله زمانی گذشته محاسبه می گردد. بعد از گذشت مرحله سوم، زمان به اندازه Δt و مقدار u محاسبه شده برابر مقدار u بعد از گذر از یک Δt زمانی است.

برای محاسبه ضرایب با معادل قرار دادن ضرایب حاصل از سری تیلور با طرح می توان اقدام نمود.

داریم:

¹ A.Wray

$$c_1 + c_2 + c_3 + d_1 + d_2 + d_3 = 1$$

$$c_1^2 c_2 + c_3 (c_1 + c_2 (1 + \frac{d_2}{c_2}))^2 + c_1^2 d_3 = 1/3$$

$$c_1 c_2 + c_3 (\frac{d_2}{c_2} (1 + \frac{d_3}{c_3}) + c_2 (1 + \frac{d_2}{c_2})) = 1/2$$

$$c_1 c_2 c_3 = 1/6$$

برای حل $d_1 = 0$ قرار می دهیم. نتیجه به صورت زیر است:

$$c_1 = 8/15 \quad d_1 = 0$$

$$c_2 = 5/12 \quad d_2 = -17/60$$

$$c_3 = 3/4 \quad d_3 = -5/12$$

تست زیر برای تعیین دقت طرح مذکور انجام شده است. $u(t) = e^{-t}$ همراه با شرط اولیه

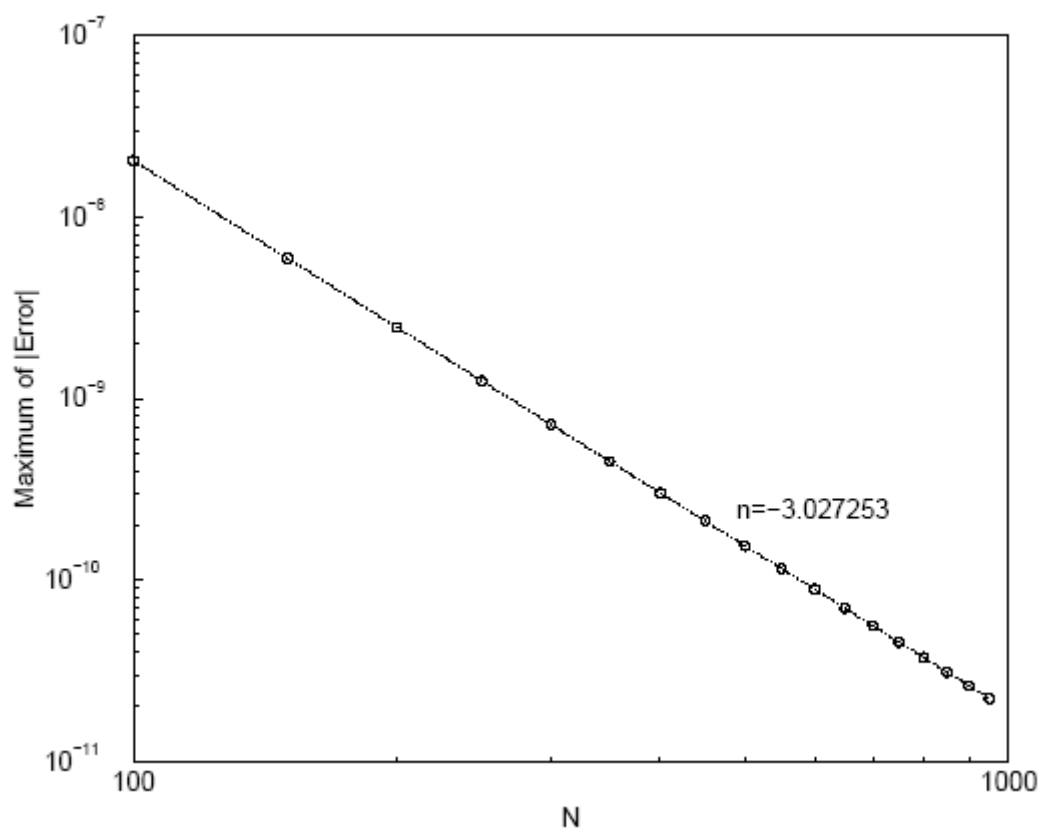
$$u(0) = 1$$

یک حل تحلیلی برای معادله ۶-۲۰ است.

$$\frac{du}{dt} = -u(t) \quad (۶-۲۰)$$

ماکزیمم خطا بین نتایج عددی و حل واقعی در شکل ۶-۸ رسم شده است که به روشنی نشان

دهنده صحیح بودن دقت مرتبه سوم این طرح می باشد.



شکل ۶-۸: مرتبه دقت طرح پیشروی در زمان برای $\frac{du}{dt} = -u(t)$ با $u(0) = 1$. [۷۰]

۶-۶- حل معادله پواسون

بعد از محاسبه طرف راست معادله ناویر استوکس و پیشروی در زمان، مقدار $\nabla^2 u$ بدست می آید.

پس داریم:

$$\nabla^2 u = C \quad (۲۱-۶)$$

که C معلوم می باشد و مقدار u مجهول است. با بسط معادله داریم:

$$\nabla^2 u = \frac{\partial^2 u}{\partial x^2} + \frac{\partial^2 u}{\partial y^2} = C \quad (۲۲-۶)$$

با جایگزین کردن اپراتور های مشتقات دوم در جهات x و y معادله زیر بدست می آید:

$$(D2X.u^T)^T + D2Y.u = C \quad (۲۳-۶)$$

توجه کنید که برای اعمال اپراتور مشتق دوم در جهت X باید تابع مفعول را ترانسپوز کرده و در

ماتریس اپراتور $D2X$ ضرب کرده و در نهایت از نتیجه ضرب دو ماتریس، یک ترانسپوز گرفته

شود.

با توجه به اینکه:

$$(ST)^T = T^T S^T \quad (۲۴-۶)$$

پس معادله ۲۳-۶ به معادله زیر تبدیل می شود.

$$u.D2X^T + D2Y.u = C \quad (۲۵-۶)$$

بارتلز [۳] چگونگی روش حل معادله ماتریسی $AX + XB = C$ را ارائه کرده است که در اینجا

$A = D2Y$ و $B = D2X^T$ و $X = u$ است و در نهایت u بدست می آید.

فصل هفتم

ارزیابی صحت و درستی برنامه عددی و شبیه سازی عددی

۷-۱- ارزیابی کد و شبیه سازی عددی:

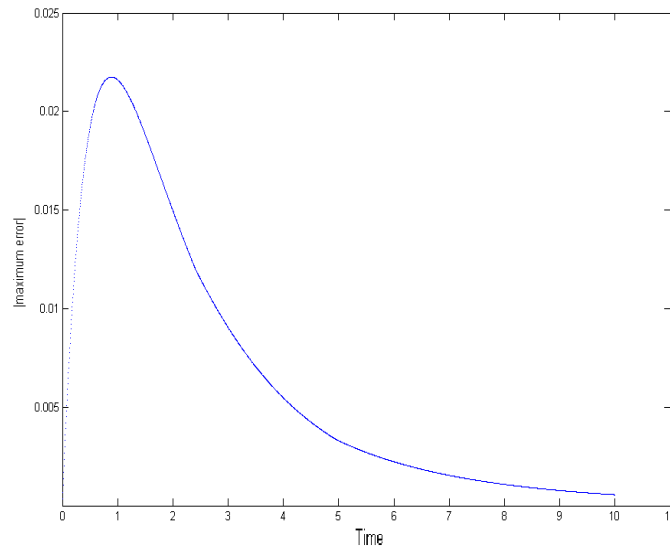
به منظور تست و ارزیابی صحت برنامه نوشته شده، در حالتی که مود های مختلف کد فعال هستند، نتایج را با بعضی از حل های دقیق معادله ناویر استوکس در حالات خاص تست و مقایسه می کنیم.

۷-۱-۱- معادله نفوذ وابسته به زمان

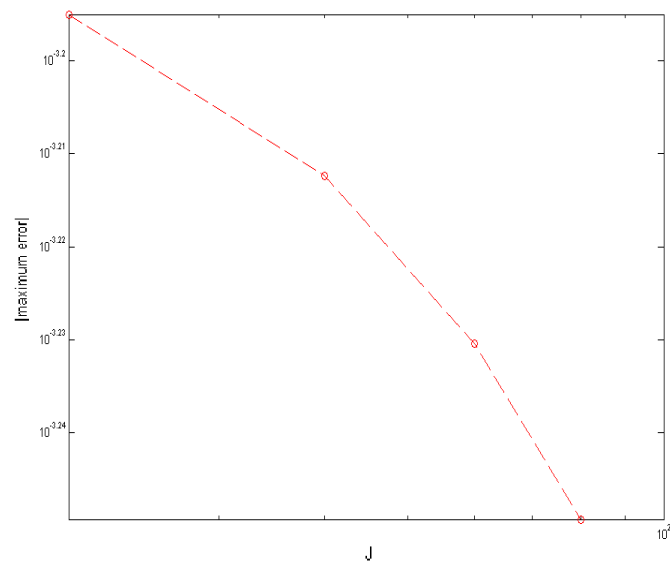
حل معادله ناویر استوکس (۳-۴) با توجه به پیشرفت در زمانی در برنامه عددی با حل واقعی معادله نفوذ تست شده است. معادله نفوذ مربوط به حالتی است که $H = 0$ است. یک حل خاص برای معادله نفوذ به صورت زیر است: [۱۰]

$$u(x, y, t) = \cos(x) \times \frac{y-1}{\left(1 + \frac{4t}{\text{Re}}\right)^{1.5}} \times \exp(-2t / \text{Re}) \times \exp\left(-\frac{(y-1)^2}{\left(1 + \frac{4t}{\text{Re}}\right)}\right) \quad (۱-۷)$$

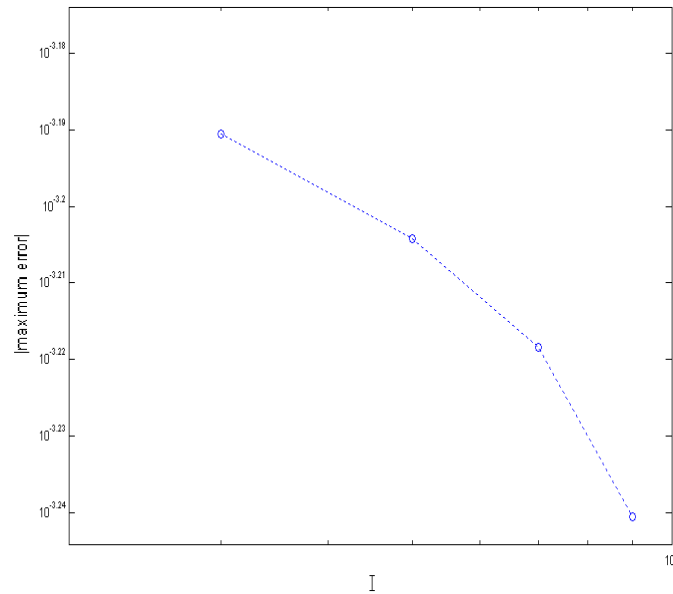
برای انجام این تست بایستی از این معادله برای تولید شرط مرزی و شرط اولیه استفاده نمود. در نتیجه شرط مرزی خروجی جابجایی و تشکیل ترم های غیر خطی در این تست نمی تواند ارزیابی شوند. ولی حل معادله پواسون و کیفیت پیشرفت در زمان ارزیابی می شوند. توجه کنید که u شرط پایداری را ارضاء می کند و حل می تواند برای شبیه سازی جریان جت کاملاً لزج مورد استفاده قرار گیرد. پارامترها در این تست به صورت $L_x = 2\pi/3$ و $\beta = 4$ و $\text{Re} = 10$ و $t = 20$ و $N_x = 45$ و $N_y = 40$ می باشند. شکل ۷-۱ دقت حل وابسته به زمان برای u را نشان می دهد. شکل های ۷-۱-۱ و ۷-۱-۲ هم مقدار ماکزیمم خطا به صورت تابعی از تعداد گره ها در جهات x و y را ترسیم کرده است.



شکل ۷-۱: ماکزیمم خطا در u برای حل دو بعدی معادله نفوذ به صورت تابعی از زمان



شکل ۷-۱-۱: ماکزیمم خطا در u برای حل دو بعدی معادله نفوذ به صورت تابعی از تعداد گره در جهت X



شکل ۷-۱-۲: ماکزیمم خطا در u برای حل دو بعدی معادله نفوذ به صورت تابعی از تعداد گره در جهت y

۷-۱-۲- گردابه های استوارت

استوارت^۱ حل دو بعدی وابسته به زمان معادله ناویر استوکس غیر لزج^۲ را برای گروه لایه های اختلاطی معرفی کرد. حل به صورت تابع جریان ψ است که مولفه های سرعت $u = \frac{\partial \psi}{\partial y}$ و

$$v = -\frac{\partial \psi}{\partial x} \text{ است. [۱۰]}$$

$$\psi(x, y, t) = cy + \ln(a \cosh(y - y_0) + b \cos(x - ct)) \quad (۲-۷)$$

در اینجا $b = \sqrt{a^2 - 1}$. به راحتی می توان نشان داد که معادله بالا، معادله جابجایی را ارضاء می کند که c برابر سرعت جابجایی موج است. در نتیجه حل استوارت می تواند برای ارزیابی صحت شرط مرزی خروجی جابجایی مورد استفاده قرار گیرد. در این تست تشکیل ترم لزج تست نمی شود ولی برای ارزیابی تشکیل ترم های غیرخطی و پیشروی محاسبات در زمان مناسب است.

به این نکته توجه کنید که مولفه سرعت در جهت جریان نمی تواند حل پایداری داشته باشد. برای رفع این مشکل $\tanh(y - y_0)$ را به آن اضافه و کسر می کنیم. قسمت پایدار آن یعنی

¹ Stewart

² In viscid

$a \sinh(y - y_0) / (a \cosh(y - y_0) + b \cos(x - ct)) - \tanh(y - y_0)$ را به صورت شرط اولیه و

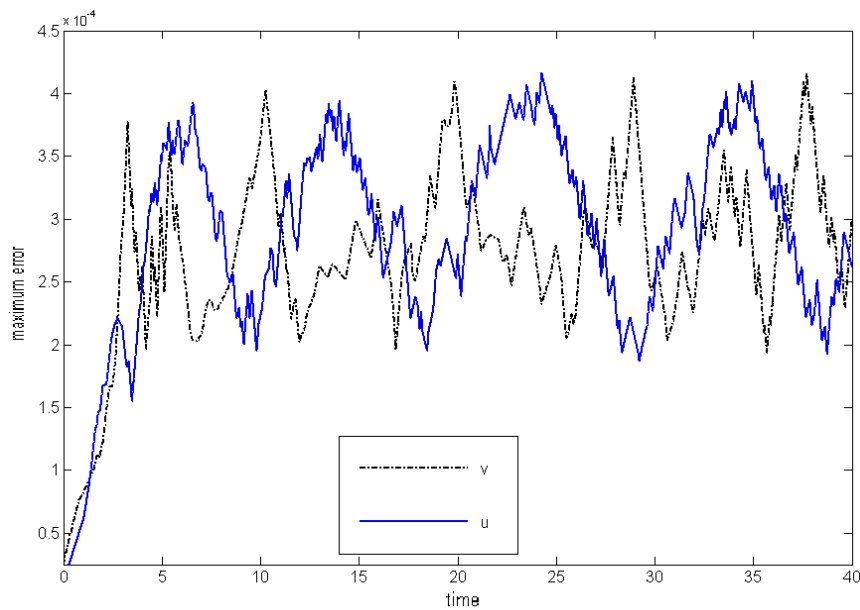
شرط مرزی ورودی در نظر می گیریم. باقیمانده عبارت به عنوان جریان اولیه محسوب می شود.

پارامترها به صورت $L_x = 2\pi$ و $\beta = 3$ و $Re = 10^9$ در نظر گرفته می شود تا جریان بصورت

موثر ایده ال باقی بماند. به عبارت دیگر با در نظر گرفتن $Re = 10^9$ جمله غیر خطی در مقایسه با

جمله لزجتی کاملاً غالب خواهد بود.

شکل ۷-۱-۳ دقت حل وابسته به زمان را برای u و v نشان می دهد.



شکل ۷-۱-۳: ماکزیمم خطا در u و v برای تست گردابه های استوارت به صورت تابعی از زمان

۷-۲- مطالعه شبکه^۳

برای ارزیابی صحت و درستی برنامه عددی، من جمله تستهای معمول مطالعه شبکه است.

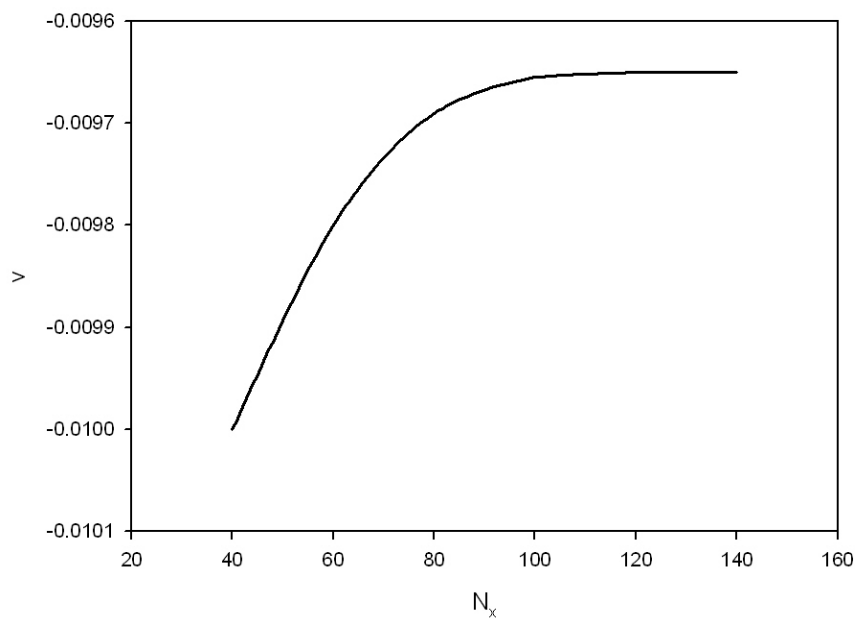
برای انجام این مهم برنامه عددی نوشته شده را در شرایط زیر اجرا کرده ایم.

$Re = 100$ و $\beta = 4$ و $Ny = 70$ و $L_x = 25$ و $\Delta t = 0.01$ و $Pr = 3$ برای N_x تعداد گره ها راز ۴۰ تا

۱۴۰ تغییر دادیم و نتایج را در $time = 100$ و $x = 0.75L_x$ و $y = 0$ رصد کردیم.

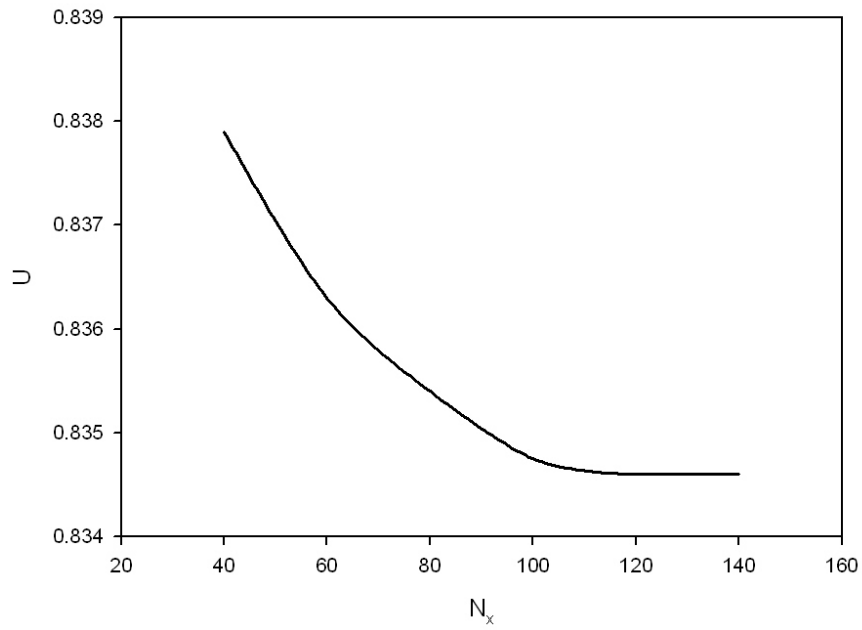
نتایج عددی به ازای $N_x > 100$ مستقل از تعداد گره خواهد شد.

شکلهای ۱-۲-۷ و ۲-۲-۷ و ۳-۲-۷ موید این امر هستند.

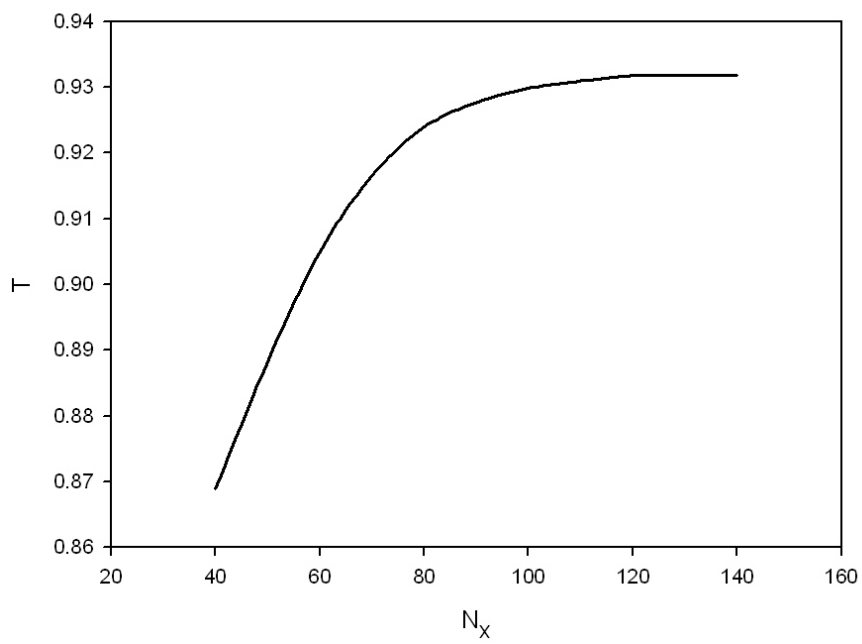


شکل ۱-۲-۷: مطالعه شبکه برای ۷

³ Grid-Study



شکل ۲-۲-۷: مطالعه شبکه برای U



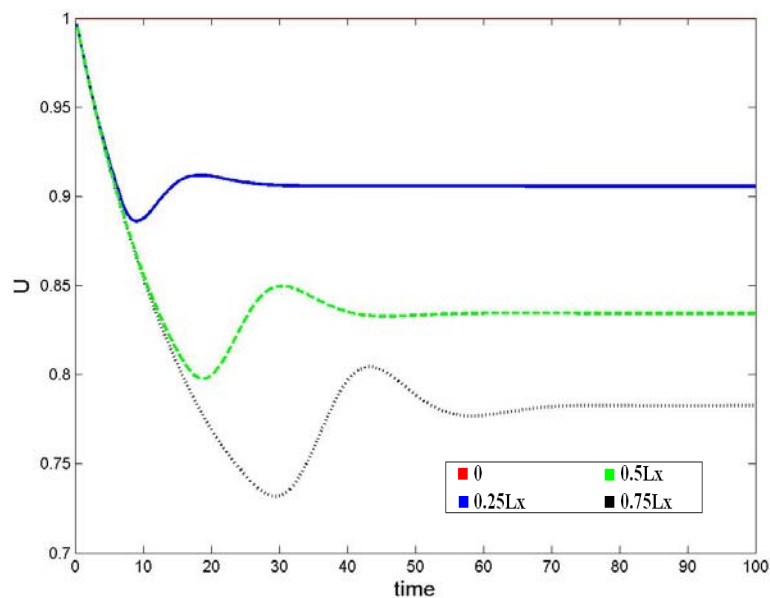
شکل ۳-۲-۷: مطالعه شبکه برای دما

فصل هشتم

نتایج عددی برای جت آرام

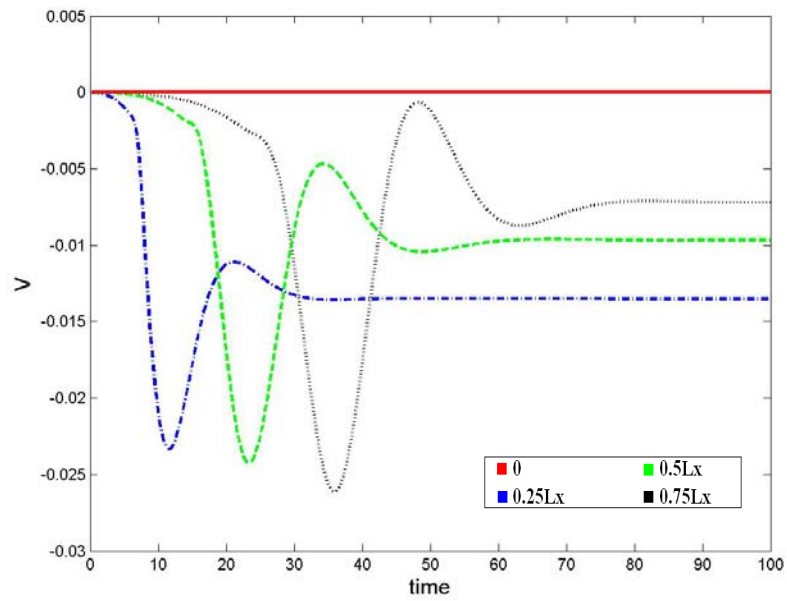
۸-۱- جریان و انتقال حرارت جت دو بعدی آرام

برای شبیه سازی جریان جت، بدون اغتشاشات ورودی انتظار داریم که سرعت لحظه ای و دمایی لحظه ای در هر نقطه ای از دامنه به یک حالت پایدار برسد. این موضوع کاملاً و به وضوح در شکل های ۸-۱ و ۸-۲ و ۸-۳ نشان داده شده است که تاریخچه ای از سرعت های U و V و T در مکان های معادل و متساوی در جهت جریان نمایش داده شده است. پارامترهای مورد استفاده در این شبیه سازی عبارتند از $Re = 100$ و $\beta = 4$ و $N_x = 140$ و $N_y = 70$ و $\Delta t = 0.1\Delta x$ و $Lx = 25$ و $Pr = 2$.

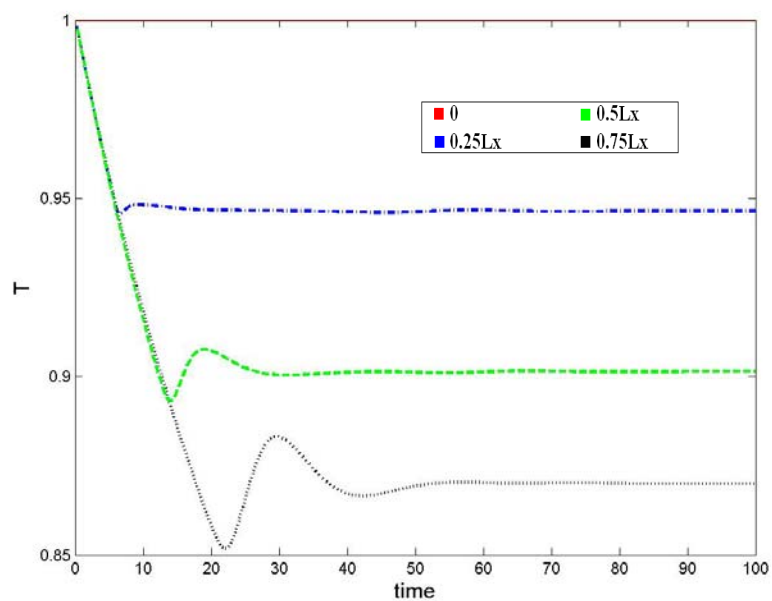


شکل ۸-۱: گذر زمانی U در $y=0$ و در ۴ فاصله در طول Lx برای شبیه سازی جت دو بعدی آرام بدون

اغتشاش ورودی



شکل ۸-۲: گذر زمانی V در $y=0$ و در ۴ فاصله در طول Lx برای شبیه سازی جت دو بعدی آرام بدون اغتشاش ورودی



شکل ۸-۳: گذر زمانی T در $y=0$ و در ۴ فاصله در طول Lx برای شبیه سازی جت دو بعدی آرام بدون اغتشاش ورودی

۸-۲- اثرات غلظت نانوذرات بر جریان و انتقال حرارت جت دو بعدی آرام

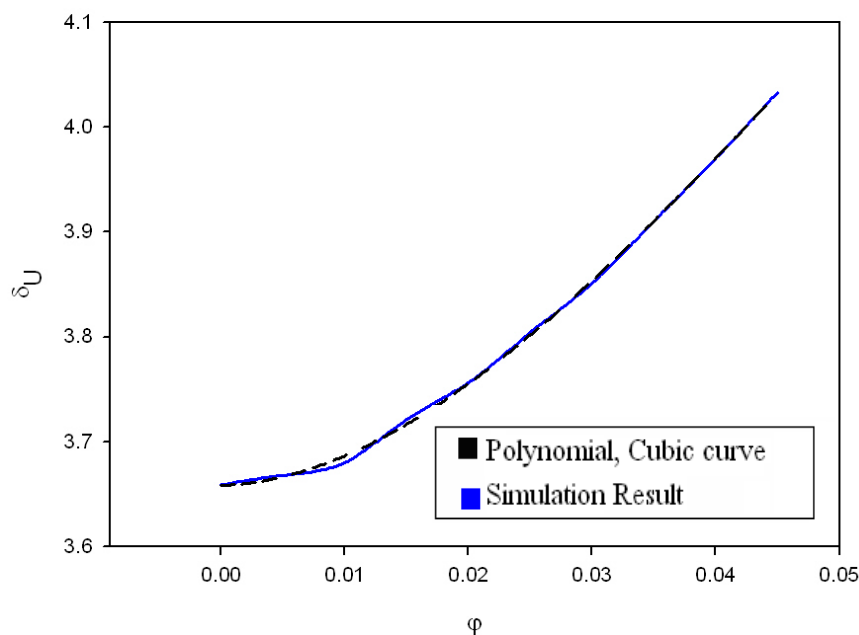
در این پروژه اثرات غلظت نانو ذرات را بر روی جریان و انتقال حرارت جت آرام بررسی کردیم.

۸-۲-۱- اثرات غلظت نانوذرات بر عمق نفوذ حرارتی و هیدرودینامیکی

برای مطالعه اثرات غلظت نانوذرات بر روی عمق نفوذ عرضی حرارتی و هیدرودینامیکی بدینگونه عمل کردیم که در یک X ثابت، Y را به گونه ای بیابیم که در آن نقطه خاص مقدار سرعت و دما 0.01 (یکصدم) باشد.

این مهم برای غلظتهای مختلف نانوذرات انجام شد. نتایج نشان داد که با افزایش غلظت نانوذرات شاهد افزایش عمق نفوذ عرضی حرارتی و هیدرودینامیکی خواهیم بود.

شکل ۸-۴ مربوط است به نمودار عمق نفوذ عرضی هیدرودینامیکی بر حسب غلظت نانوذرات. توضیح اینکه دقیقترین تابعی که به این نمودار فیت شده است تابعی درجه ۳ است.



شکل ۸-۴: نمودار عمق نفوذ عرضی هیدرودینامیکی در $x = 0.75Lx$ و $time = 100$ بر حسب غلظت نانوذرات.

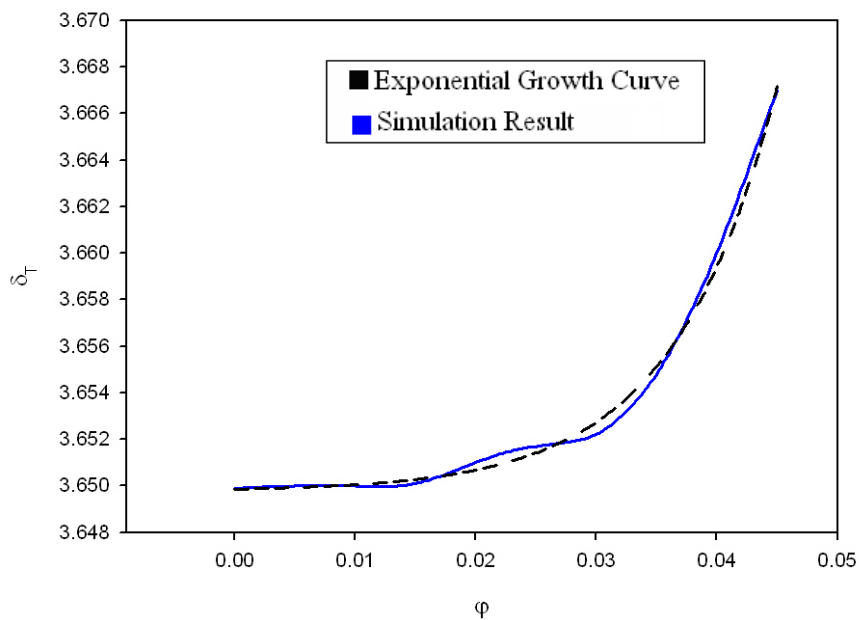
فرمول زیر را برای بیان رابطه ای که بین نفوذ عرضی هیدرودینامیکی و غلظت نانوذرات وجود دارد ارائه کرده ایم:

$$\delta_U = \delta_{U0} + 0.45\varphi + 257\varphi^2 - 1827\varphi^3 \quad (1-8)$$

اطلاعات کامل مربوط به تابع فیت شده در پیوست ارائه شده است.

شکل ۵-۸ مربوط است به نمودار عمق نفوذ عرضی حرارتی بر حسب غلظت نانوذرات.

توضیح اینکه دقیقترین تابعی که به این نمودار فیت شده است تابعی نمایی است.



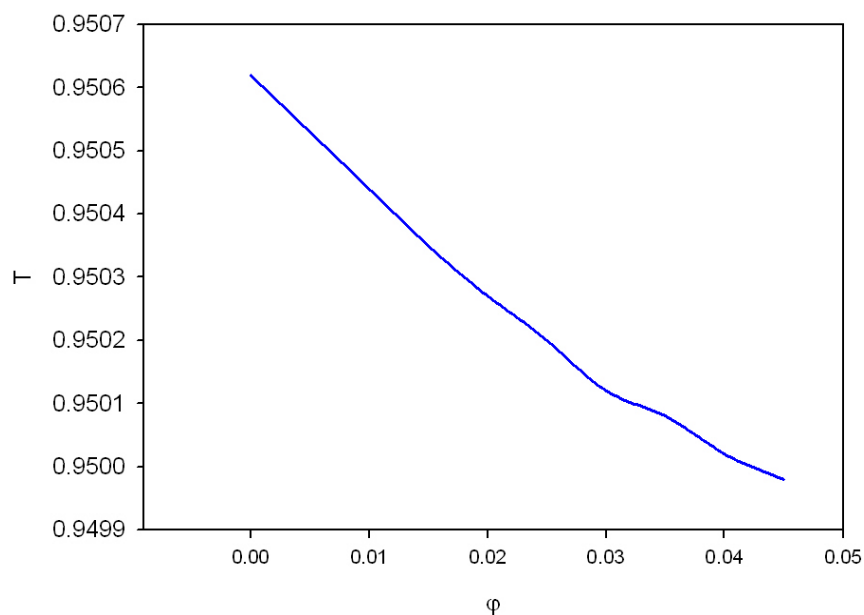
شکل ۵-۸: نمودار عمق نفوذ عرضی حرارتی در $x = 0.75Lx$ و $time = 100$ بر حسب غلظت نانوذرات.

فرمول زیر را برای بیان رابطه ای که بین نفوذ عرضی حرارتی و غلظت نانوذرات وجود دارد ارائه کرده ایم:

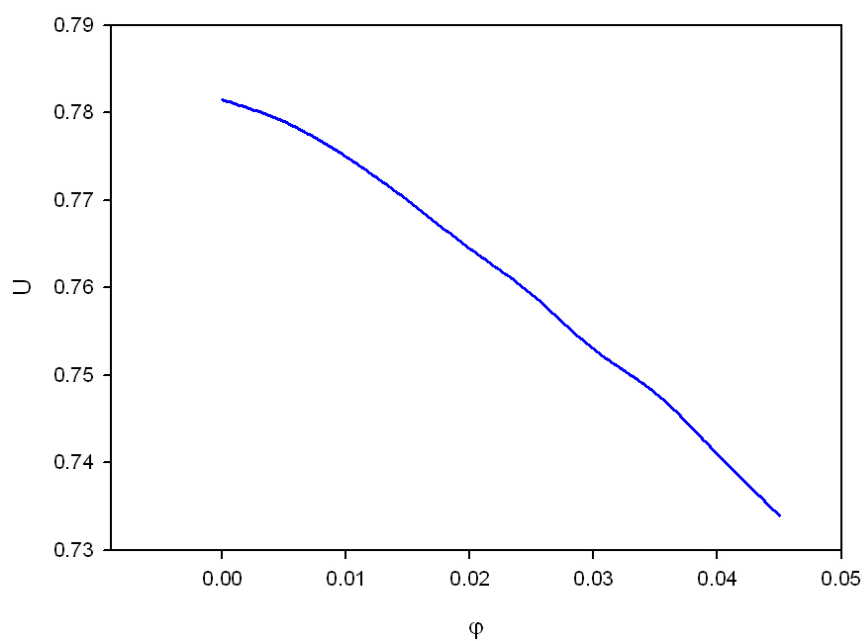
$$\delta_T = \delta_{T0} + (8.6E - 5) \exp(117.93\phi) \quad (۲-۸)$$

اطلاعات کامل مربوط به تابع فیت شده در پیوست ط ارائه شده است.

اثرات غلظت نانوذرات بر روی عمق نفوذ طولی حرارتی و هیدرودینامیکی نیز مورد مطالعه قرار گرفت. بدینگونه که در یک نقطه مشخص مقدار U و T را در یک نقطه مشخص برای غلظتهای مختلف بدست آوردیم. نتایج نشان داد که با افزایش غلظت نانو ذرات شاهد کاهش عمق نفوذ طولی حرارتی و هیدرودینامیکی خواهیم بود. شکل‌های ۸-۸ و ۸-۷ مربوط است به نمودار عمق نفوذ طولی حرارتی و هیدرودینامیکی بر حسب غلظت نانوذرات.



شکل ۸-۶: نمودار عمق نفوذ طولی حرارتی در $x = 0.75Lx$ و $time = 100$ و $y = 0$ بر حسب غلظت نانوذرات.



شکل ۸-۷: نمودار عمق نفوذ طولی هیدرودینامیکی در $x = 0.75Lx$ و $time = 100$ و $y = 0$ بر حسب غلظت نانوذرات.

فصل نهم

جت مغشوش

۹-۱- مقدمه

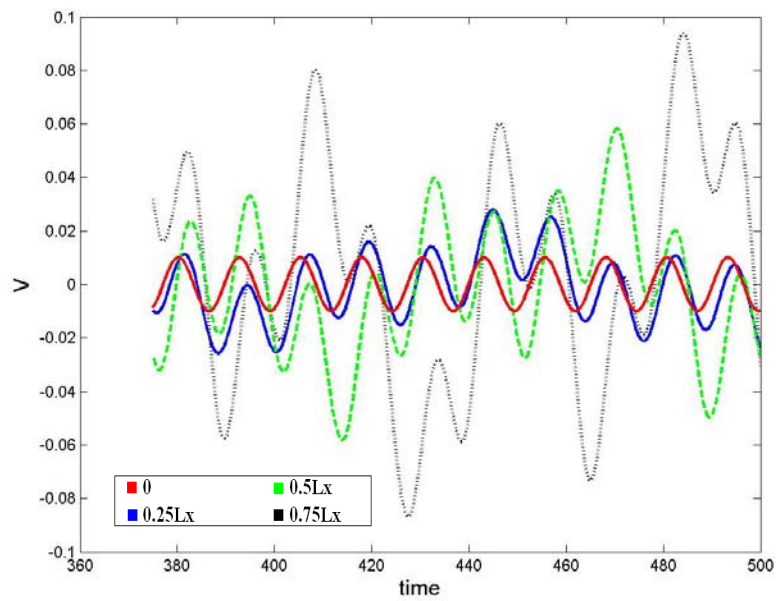
در این بخش یک جت دو بعدی را در حالتی توسعه می دهیم که یک اغتشاش در ورودی قرار می دهیم. این اغتشاش در اصل تابع ویژه سرعت در جهت y منتج از حل معادله اورساملفیلد و تحلیل پایداری خطی جریان جت می باشد. این تحلیل توسط سلمانی [۲] انجام شده است. توجه کنید که این اغتشاشات فقط در v به کار برده می شود. لازم به ذکر است چنانچه اغتشاشاتی برای u نیز به کار رود، در این صورت بایستی این پروفیل برای u توزیعی پادمقارن داشته باشد. همانطور که مغربی [۱۰] بحث کرده است. این موضوع مربوط به شرط حل شدن^۱ می باشد که برای جزئیات به مرجع [۱۰] رجوع شود.

۹-۲- اغتشاشات ورودی

در حل معادله پایداری دومود ناپایدار وجود دارد که یکی بسیار بزرگتر از دیگری است که طبق آن مود ناپایدار مولفه های اغتشاش U و v و T بدست آمده اند. سرعت لحظه ای و دمایی لحظه ای در شبیه سازی همراه با اغتشاشات باید به صورت آماری ساکن^۲ برسد و در این حالت سرعت متوسط و دمایی متوسط مستقل از زمان است. گذر زمانی U و v و T در ۴ فاصله مساوی در جهت طول L_x در شکل های ۹-۱ و ۹-۲ و ۹-۳ و نشان داده اند. با توجه این شکل ها می توان ملاحظه کرد که مولفه های سرعت U و v و T به یک حالت پایدار ایستایی رسیده اند و مقادیر متوسط آنها به لحاظ آماری نسبت به زمان تغییراتی ندارد.

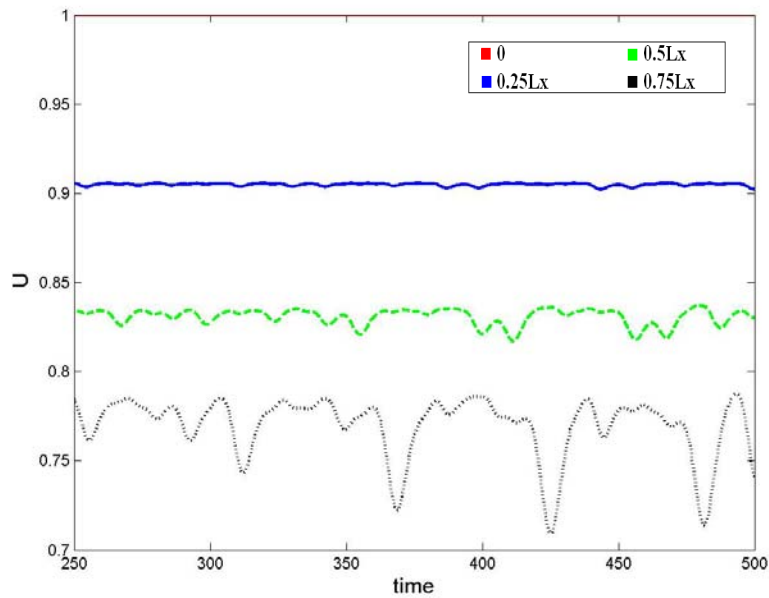
¹ Solvability Condition

² Statistically Steady



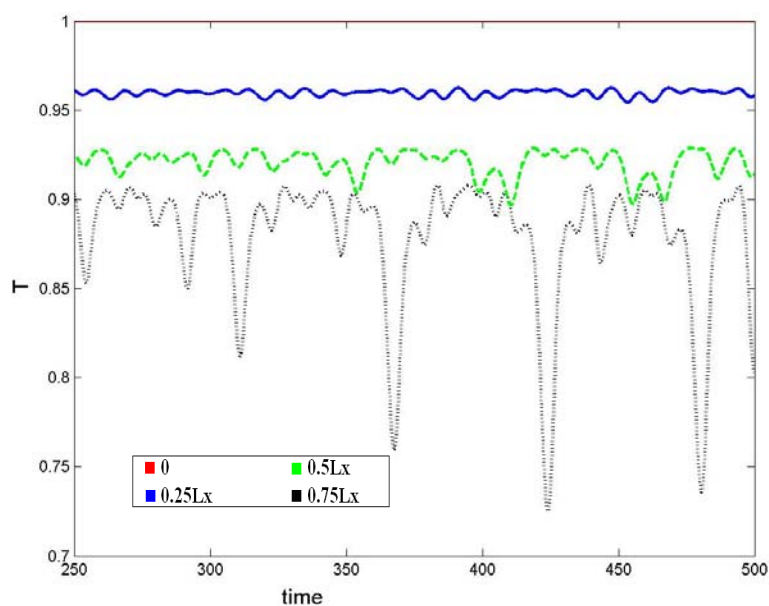
شکل ۹-۱: گذر زمانی v در ۴ فاصله مساوی در طول L_x برای شبیه سازی جت دوبعدی همراه با

اغتشاش ورودی



شکل ۹-۲: گذر زمانی U در ۴ فاصله مساوی در طول L_x برای شبیه سازی جت دوبعدی همراه با

اغتشاش ورودی

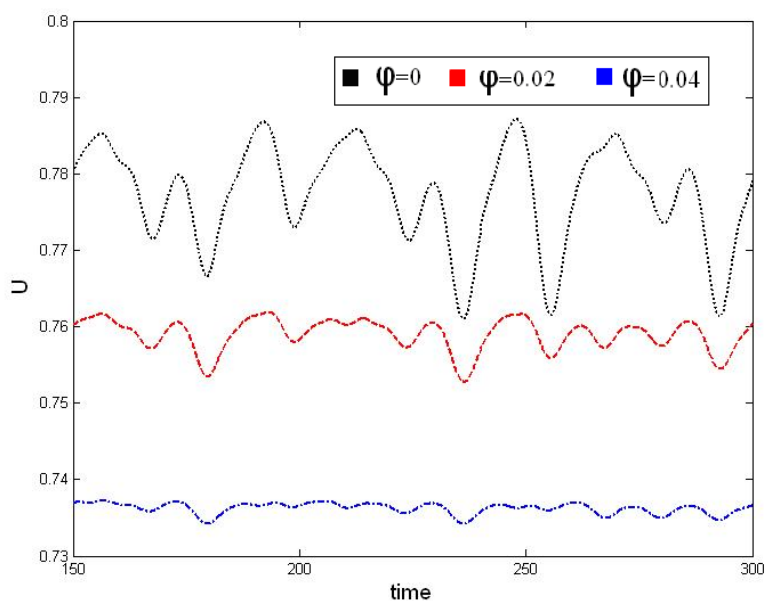


شکل ۹-۳: گذر زمانی T در ۴ فاصله مساوی در طول L_x برای شبیه سازی جت دوبعدی همراه با اغتشاش ورودی

۹-۳- اثر نانو ذره بر روی جریان و دمای جت مغشوش

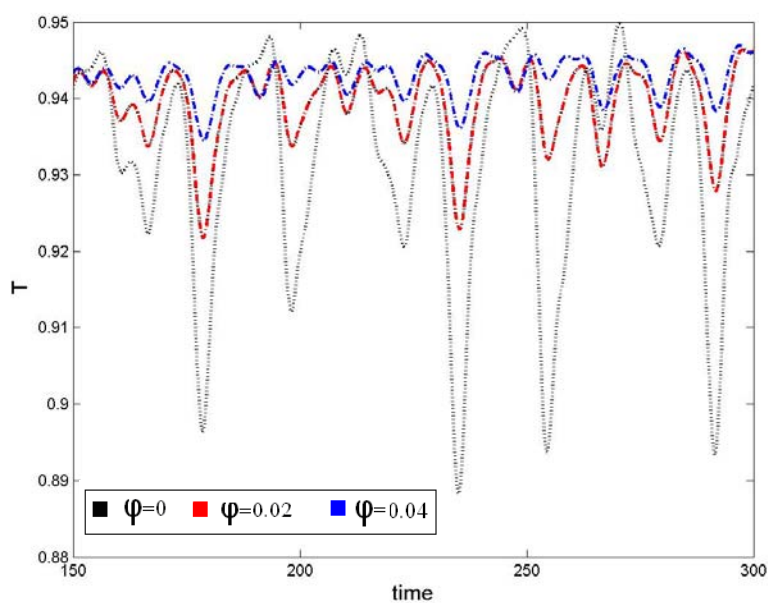
در این قسمت اثرات نانو ذرات بر روی دامنه اغتشاش بررسی شد و نتایج بدینگونه است که با افزایش غلظت نانوذرات شاهد کاهش دامنه اغتشاش هستیم.

شکل ۹-۴ مربوط است به گذر زمانی U در یک نقطه مشخص برای نانو سیال با غلظت های مختلف برای نانوذرات



شکل ۴-۹: گذر زمانی U در $y=0$ و در $x = 0.75Lx$ برای نانوسیال همراه با اغتشاش ورودی

شکل ۵-۹ مربوط است به گذر زمانی T در یک نقطه مشخص برای نانو سیال با غلظت های مختلف برای نانوذرات



شکل ۵-۹: گذر زمانی T در $y=0$ و در $x = 0.75Lx$ برای نانوسیال همراه با اغتشاش ورودی

۹-۴- پیشنهادات برای تحقیقات آینده:

- با توجه به تحلیل صورت گرفته، موارد زیر برای تحقیقات آینده پیشنهاد می شود.
- الف: روش عددی استفاده شده در این تحقیق، تفاضل محدود فشرده می باشد. در این زمینه می توان از روشهای عددی دیگر مانند تفاضل محدود فوق فشرده که دارای دقتی به مراتب بالاتر میباشد، استفاده کرد.
- ب: ضریب هدایت نانو سیال متأثر از پارامترهای مختلفی است من جمله قطر متوسط و ضریب شکل و حرکت براونی و... نانو ذرات که می توان تأثیر آنها را بر انتقال حرارت جت دوبعدی بررسی کرد.
- ج: نانوسیال با نانوذره و سیال پایه مختلف می تواند برای جت مورد بررسی قرار می گیرد.
- د: نانو سیال را با روش دوفازی مورد تحلیل قرار دهیم.

پیوستها

پیوست الف: روش بی بعد کردن معادله ناویر استوکس

فرم کلی معادله ناویر استوکس برای جریان نیوتنی تراکم ناپذیر با خواص ثابت بصورت زیر است:

$$\rho_{nf} \left(\frac{D\vec{U}}{Dt} \right) = -\nabla p + \mu_{nf} (\nabla^2 \vec{U})$$

$$\rho_{nf} \left(\frac{\partial \vec{U}}{\partial t} + (\vec{U} \cdot \nabla) \vec{U} \right) = -\nabla p + \mu_{nf} (\nabla^2 \vec{U})$$

برای بی بعدسازی معادلات بایستی همه کمیت‌ها به وسیله مشخصه طول و مشخصه سرعت بی بعد شوند که در این ارتباط نیم‌عرض جت ورودی $b_{1/2}$ و سرعت ورودی U_{in} به عنوان مقیاس‌های بی بعد کننده مورد استفاده قرار می‌گیرند. برای ترم فشار نیز ρU_{in}^2 به عنوان مقیاس‌های بی بعد کننده مورد استفاده قرار می‌گیرد.

$$U^* = \frac{U}{U_{in}} \quad V^* = \frac{V}{U_{in}} \quad x^* = \frac{x}{b_{1/2}} \quad y^* = \frac{y}{b_{1/2}} \quad t^* = \frac{t}{\frac{b_{1/2}}{U_{in}}} \quad P^* = \frac{P}{\rho U_{in}^2} \quad \nabla^* = b_{1/2} \nabla$$

با توجه به مقادیر بی بعد معادله ناویر استوکس به صورت زیر در می‌آید.

$$\left(\frac{\rho U_{in}^2}{b_{1/2}} \right) \left(\frac{\partial \vec{U}^*}{\partial t^*} + (\vec{U}^* \cdot \nabla^*) \vec{U}^* \right) = \left(\frac{-\rho U_{in}^2}{b_{1/2}} \right) \nabla^* p^* + \left(\frac{\mu U_{in}}{b_{1/2}^2} \right) (\nabla^{*2} \vec{U}^*)$$

باتقسیم طرفین بر $\left(\frac{\rho U_{in}^2}{b_{1/2}} \right)$ داریم

$$\left(\frac{\partial \vec{U}^*}{\partial t^*} + (\vec{U}^* \cdot \nabla^*) \vec{U}^* \right) = -\nabla^* p^* + \left(\frac{\mu}{\rho U_{in} b_{1/2}} \right) (\nabla^{*2} \vec{U}^*)$$

باتوجه به اینکه $\frac{1}{\text{Re}} = \frac{\mu}{\rho U_{in} b_{1/2}}$ بفرم نهایی بی بعد شده معادله ناویر استوکس می‌رسیم

$$\frac{\partial \vec{U}}{\partial t} + (\vec{U} \cdot \nabla) \vec{U} = -\nabla p + \frac{1}{\text{Re}} (\nabla^2 \vec{U})$$

پیوست ب: بدست آوردن شکل چرخشی معادله نایر استوکس

فرم کلی معادله نایراستوکس به صورت زیر می باشد:

$$\frac{\partial \vec{U}}{\partial t} + (\vec{U} \cdot \nabla) \vec{U} = -\nabla p + \frac{1}{\text{Re}} (\nabla^2 \vec{U}) \quad (1)$$

با توجه به رابطه زیر:

$$\nabla(A \cdot B) = (B \cdot \nabla)A + (A \cdot \nabla)B + B \times (\nabla \times A) + A \times (\nabla \times B) \quad (2)$$

برای مورد $A = B = \vec{U} = (U, V, W)$ ، معادله ۲ به صورت زیر در می آید:

$$(\vec{U} \cdot \nabla) \vec{U} = \vec{\omega} \times \vec{U} + \frac{1}{2} \nabla(\vec{U} \cdot \vec{U}) \quad (3)$$

که $\vec{\omega} = (\omega_1, \omega_2, \omega_3)$. اگر معادله ۳ در معادله ۱ جایگزین گردد. معادله زیر بدست می آید:

$$\frac{\partial \vec{U}}{\partial t} = \vec{H} - \nabla(p + \frac{\vec{U} \cdot \vec{U}}{2}) + \frac{1}{\text{Re}} (\nabla^2 \vec{U}) \quad (4)$$

که $\vec{H} = (H_1, H_2, H_3) = \vec{U} \times \vec{\omega}$. با گرفتن کرل از معادله ۴ داریم:

$$\frac{\partial(\nabla \times \vec{U})}{\partial t} = \nabla \times \vec{H} - \nabla \times \nabla(p + \frac{\vec{U} \cdot \vec{U}}{2}) + \frac{1}{\text{Re}} \nabla^2 (\nabla \times \vec{U}) \quad (5)$$

که با توجه به اینکه $\nabla \times \nabla(\text{scalar}) = 0$ ، معادله به صورت زیر در می آید:

$$\frac{\partial \vec{\omega}}{\partial t} = \nabla \times \vec{H} + \frac{1}{\text{Re}} \nabla^2 \vec{\omega} \quad (6)$$

با گرفتن کرل از معادله ۶، معادله زیر بدست خواهد آمد.

$$\frac{\partial \nabla \times (\nabla \times \vec{U})}{\partial t} = \nabla \times (\nabla \times \vec{H}) + \frac{1}{\text{Re}} \nabla^2 (\nabla \times (\nabla \times \vec{U})) \quad (7)$$

با توجه به معادله پیوستگی $(\nabla \cdot \vec{U} = 0)$ و به کار بردن رابطه زیر:

$$\nabla \times (\nabla \times \vec{U}) = \nabla(\nabla \cdot \vec{U}) - \nabla^2 \vec{U} \quad (8)$$

معادله ۷ به معادله ۹ تبدیل می گردد.

$$\frac{\partial \nabla^2 \vec{U}}{\partial t} = -\nabla \times (\nabla \times \vec{H}) + \frac{1}{\text{Re}} \nabla^4 \vec{U} \quad (9)$$

پیوست ج: روش بی بعد کردن معادله انرژی

فرم کلی معادله انرژی با در نظر گرفتن تلفات ناچیز حرارتی به صورت زیر است:

$$(\rho c_p)_{nf} \left(\frac{\partial T}{\partial t} + U \frac{\partial T}{\partial x} + V \frac{\partial T}{\partial y} \right) = K_{nf} \left(\frac{\partial^2 T}{\partial x^2} + \frac{\partial^2 T}{\partial y^2} \right)$$

برای بی بعدسازی معادلات بایستی همه کمیت‌ها به وسیله مشخصه طول و مشخصه سرعت بی‌بعد شوند که در این ارتباط نیم‌عرض جت ورودی $b_{1/2}$ و سرعت ورودی U_{in} به عنوان مقیاس‌های بی‌بعد کننده مورد استفاده قرار می‌گیرند.

برای بی بعد کردن دما، دمای ورودی T_{in} مقیاس بی بعد کننده دماست.

$$U^* = \frac{U}{U_{in}} \quad V^* = \frac{V}{U_{in}} \quad x^* = \frac{x}{b_{1/2}} \quad y^* = \frac{y}{b_{1/2}} \quad t^* = \frac{t}{\frac{b_{1/2}}{U_{in}}} \quad T^* = \frac{T - T_{\infty}}{T_{in} - T_{\infty}} \quad \nabla^* = b_{1/2} \nabla$$

با توجه به مقادیر بی بعد معادله انرژی به صورت زیر در می‌آید.

$$\left(\frac{U_{in}(T_{in} - T_{\infty})}{b_{1/2}} \right) \left(\frac{\partial T^*}{\partial t^*} + \vec{U}^* \cdot \nabla^* T^* \right) = \frac{K}{\rho c_p} \frac{(T_{in} - T_{\infty})}{b_{1/2}^2} (\nabla^{*2} T^*)$$

باتقسیم طرفین بر $\left(\frac{U_{in}(T_{in} - T_{\infty})}{b_{1/2}} \right)$ داریم

$$\left(\frac{\partial T^*}{\partial t^*} + \vec{U}^* \cdot \nabla^* T^* \right) = \frac{K}{\mu c_p} \frac{\mu}{\rho U_{in} b_{1/2}} (\nabla^{*2} T^*)$$

باتوجه به اینکه $\frac{1}{\text{Pr}} = \frac{K}{\mu c_p}$ و $\frac{1}{\text{Re}} = \frac{\mu}{\rho U_{in} b_{1/2}}$ و $Pe = \text{Pr} \cdot \text{Re}$ بفرم نهایی بی بعد شده معادله انرژی

می‌رسیم

$$\frac{\partial T}{\partial t} + \vec{U} \cdot (\nabla T) = \frac{1}{Pe} (\nabla^2 T)$$

پیوست د: اطلاعات مربوط به تابع درجه ۳

Nonlinear Regression

Equation: Polynomial, Cubic

$$f=y_0+a*x+b*x^2+c*x^3$$

R **Rsqr** **Adj Rsqr** **Standard Error of Estimate**

0.9997 0.9995 0.9992 0.0036

	Coefficient	Std. Error	t	P	VIF
y0	3.6583	0.0033	1108.4074	<0.0001	8.2377<
a	0.4474	0.6719	0.6659	0.5302	243.2643<
b	256.9930	35.8947	7.1596	0.0004	933.7280<
c	-1827.5058	523.4387	-3.4913	0.0130	316.7544<

Analysis of Variance:

Uncorrected for the mean of the observations:

	DF	SS	MS
Regression	4	144.9529	36.2382
Residual	6	7.9341E-005	1.3224E-005
Total	10	144.9530	14.4953

Corrected for the mean of the observations:

	DF	SS	MS	F	P
Regression	3	0.1574	0.0525	3968.6353	<0.0001
Residual	6	7.9341E-005	1.3224E-005		
Total	9	0.1575	0.0175		

Statistical Tests:

PRESS 0.0002

Durbin-Watson Statistic 2.9449 Failed

Normality Test Passed (P = 0.5231)

K-S Statistic = 0.2451 Significance Level = 0.5231

Constant Variance Test Passed (P = 0.1371)

Power of performed test with alpha = 0.0500: 1.0000

Regression Diagnostics:

Row	Std. Res.	Stud. Res.	Stud. Del. Res.
1	0.1969	0.4691	0.4363
2	0.3527	0.4220	0.3911

3	-1.8232	-2.2210<	-4.8076<
4	1.1959	1.4371	1.6200
5	0.1623	0.1863	0.1706
6	0.6777	0.7779	0.7489
7	-0.7310	-0.8783	-0.8589
8	-0.1117	-0.1361	-0.1244
9	-0.1127	-0.1348	-0.1233
10	0.1931	0.4599	0.4275

Influence Diagnostics:

Row	Cook's Dist	Leverage	DFFITS
1	0.2572	0.8238	0.9433
2	0.0192	0.3016	0.2570
3	0.5968	0.3261	-3.3443
4	0.2292	0.3075	1.0794
5	0.0028	0.2410	0.0961
6	0.0480	0.2410	0.4220
7	0.0856	0.3075	-0.5723
8	0.0022	0.3261	-0.0866
9	0.0020	0.3016	-0.0810
10	0.2472	0.8238	0.9242

95% Confidence:

Row	Predicted	95% Conf-L	95% Conf-U	95% Pred-L	95% Pred-U
1	3.6583	3.6502	3.6664	3.6463	3.6703
2	3.6667	3.6618	3.6716	3.6566	3.6769
3	3.6866	3.6815	3.6917	3.6764	3.6969
4	3.7167	3.7117	3.7216	3.7065	3.7268
5	3.7554	3.7510	3.7598	3.7455	3.7653
6	3.8015	3.7972	3.8059	3.7916	3.8114
7	3.8537	3.8487	3.8586	3.8435	3.8638
8	3.9104	3.9053	3.9155	3.9002	3.9207
9	3.9704	3.9655	3.9753	3.9603	3.9806
10	4.0323	4.0242	4.0404	4.0203	4.0443

Fit Equation Description:

[Variables]

x = col(1)

y = col(2)

'Automatic Initial Parameter Estimate Functions

F(q)=ape(x,y,3,0,1)

[Parameters]

y0 = F(0)[1] "Auto {{previous: 3.65828}}

a = F(0)[2] "Auto {{previous: 0.447436}}

b = F(0)[3] "Auto {{previous: 256.993}}

c = F(0)[4] "Auto {{previous: -1827.51}}

[Equation]

f=y0+a*x+b*x^2+c*x^3

fit f to y

"fit f to y with weight reciprocal_y

"fit f to y with weight reciprocal_ysquare

[Constraints]

[Options]

tolerance=1e-10

stepsize=1

iterations=200

Number of Iterations Performed = 1

پیوست ط: اطلاعات مربوط به تابع نمایی

Nonlinear Regression

Equation: Exponential Growth, Single, 3 Parameter

$$f=y_0+a*\exp(b*x)$$

R	Rsqr	Adj Rsqr	Standard Error of Estimate
0.9983	0.9966	0.9956	0.0004

	Coefficient	Std. Error	t	P	VIF
y0	3.6498	0.0002	17688.7273	<0.0001	3.0397
a	8.6184E-005	2.4442E-005	3.5260	0.0096	250.7599<
b	117.9363	6.3062	18.7016	<0.0001	228.8940<

Analysis of Variance:

Uncorrected for the mean of the observations:

	DF	SS	MS
Regression	3	133.4933	44.4978
Residual	7	9.8041E-007	1.4006E-007
Total	10	133.4933	13.3493

Corrected for the mean of the observations:

	DF	SS	MS	F	P
Regression	2	0.0003	0.0001	1017.8666	<0.0001
Residual	7	9.8041E-007	1.4006E-007		
Total	9	0.0003	3.1789E-005		

Statistical Tests:

PRESS 7.5115E-006

Durbin-Watson Statistic 2.4216 Passed

Normality Test Passed (P = 0.9976)

K-S Statistic = 0.1193 Significance Level = 0.9976

Constant Variance Test Failed (P = 0.0186)

Power of performed test with alpha = 0.0500: 1.0000

Regression Diagnostics:

Row	Std. Res.	Stud. Res.	Stud. Del. Res.
1	0.0975	0.1129	0.1047
2	0.1797	0.2047	0.1901
3	-0.1540	-0.1717	-0.1593
4	-0.4885	-0.5325	-0.5033
5	0.8311	0.8917	0.8769
6	0.7446	0.8046	0.7820

7	-1.4487	-1.6483	-1.9508
8	-0.8661	-1.0786	-1.0936
9	1.5502	1.9589	2.6981<
10	-0.4456	-1.6795	-2.0124<

Influence Diagnostics:

Row	Cook's Dist	Leverage	DFFITS
1	0.0015	0.2553	0.0613
2	0.0042	0.2297	0.1038
3	0.0024	0.1959	-0.0786
4	0.0178	0.1583	-0.2182
5	0.0400	0.1312	0.3408
6	0.0362	0.1437	0.3203
7	0.2667	0.2275	-1.0586
8	0.2136	0.3552	-0.8116
9	0.7634	0.3738	2.0844<
10	12.4152<	0.9296	-7.3125

95% Confidence:

Row	Predicted	95% Conf-L	95% Conf-U	95% Pred-L	95% Pred-U
1	3.6499	3.6494	3.6503	3.6489	3.6509
2	3.6499	3.6495	3.6504	3.6490	3.6509
3	3.6501	3.6497	3.6504	3.6491	3.6510
4	3.6503	3.6499	3.6506	3.6493	3.6512
5	3.6507	3.6504	3.6510	3.6497	3.6516
6	3.6514	3.6511	3.6518	3.6505	3.6524
7	3.6527	3.6523	3.6532	3.6518	3.6537
8	3.6551	3.6546	3.6557	3.6541	3.6562
9	3.6594	3.6589	3.6600	3.6584	3.6605
10	3.6672	3.6663	3.6680	3.6659	3.6684

Fit Equation Description:

[Variables]

x = col(1)

y = col(2)

reciprocal_y = 1/abs(y)

reciprocal_ysquare = 1/y^2

'Automatic Initial Parameter Estimate Functions

F(q)=ape(x,ln(y-min(y)),1,0,1)

[Parameters]

y0 = min(y) "Auto {{previous: 3.64978}}

a = exp(F(0)[1]) "Auto {{previous: 8.61839e-005}}

b = F(0)[2] "Auto {{previous: 117.936}}

[Equation]

f=y0+a*exp(b*x)

fit f to y

"fit f to y with weight reciprocal_y

"fit f to y with weight reciprocal_ysquare

[Constraints]

b>0

[Options]

tolerance=1e-10

stepsize=1

iterations=200

Number of Iterations Performed = 12

ی - تحلیل خطا :

به منظور تعیین مرتبه دقت یک طرح عددی برای ارزیابی یک تابع، بسط سری تیلور مورد استفاده قرار می گیرد. اجازه بدهید خطای عددی در یک نقطه خاص از یک مجموعه را به صورت اختلاف بین مقدار حقیقی و مقدار تقریبی تابع در آن نقطه تعریف کنیم. در تقریب های عددی با استفاده از سری محدودی از جملات بسط سری تیلور برای تحلیل استفاده می شود. اولین ترم بریده شده از بسط در تقریب عددی می توان تخمین خیلی خوبی برای خطا باشد که می تواند مرتبه دقت را نشان دهد. اگر

$$E(x_i) \cong \frac{(L/N)^n}{n!} f^{(n)}(x_i) \quad (\text{الف-۱})$$

که $E(x_i)$ ، خطا در ارزیابی $f(x_i)$ در x_i است و L و N برابر طول و تعداد قطعات در مجموعه می باشند.

با گرفتن لگاریتم از هر دو طرف معادله الف-۱ به معادله الف-۲ می رسیم.

$$\log(E_{\max}) \cong C - n \log(N) \quad (\text{الف-۲})$$

که C یک ثابت است. معادله الف-۲ به وضوح نشان می دهد که شیب خط در نمودار $\log(E_{\max})$ بر روی $\log N$ برابر $-n$ می باشد که برابر مرتبه خطای تقریب می باشد.

Abstract:

Jet flow with desired physical conditions thought lots of applications in industrial and scientific scope has been the most important subjects in fluid mechanic and from appearance of fluid mechanic theory; many researchers have attended this subject.

Orifice geometry of jets introduce in two kind of planar and circular. Through special geometry of circular jets, the researchers have had more attention on this kind. Therefore, there isn't enough information about planar jet and in this thesis we attempt to study planar jets.

In this study, we attempted to analyze two dimensional incompressible jet flows by direct numerical simulation method without any modeling or simplification assumption.

Also we replaced base fluid with nanofluid and see the new result. the result shows in laminar jet when volume concentration of particle increased, δ_u & δ_T increased.

In forced jet when volume concentration of particle increased, the amplitude of noise decreased.

Keywords: Nanofluid-Thermal Properties-Modeling



Shahrood University of technology
Faculty of mechanical engineering

Modeling Convective Heat Transfer In Nano Fluid

Advisor:
M. J. Maghrebi, PhD
F.Talebi, PhD

By:
T. Armaghani

2009